

**Adopted Levels, Gammas**

Type	Author	History Citation	Literature Cutoff Date
Full Evaluation	Coral M. Baglin	NDS 109,2033 (2008)	15-Jun-2008

Q( $\beta^-$ )=-2293 3; S(n)=6866.98 15; S(p)=6352.7 19; Q( $\alpha$ )=1718.4 13 [2012Wa38](#)  
 Note: Current evaluation has used the following Q record -2293 36866.98 156342 41733 4 [2003Au03](#).  
 See, e.g., [1982Bu21](#) and [1983Ne13](#) for hfs and isotope-shift data.

<sup>169</sup>Yb Levels

Band(AJ) 7/2[633] band. A=7.9, B=9.5 (7/2, 11/2, 15/2, 19/2 levels); A=8.1, B=4.5 (9/2, 13/2, 17/2, 21/2 levels).  
 Band(Bk) 1/2[521] band. A=11.5, a=+0.80 (1/2, 3/2, 5/2, 7/2, 9/2 levels).  
 Band( $\epsilon$ M) 5/2[512] band. A=12.7, B=-9.5 (5/2, 7/2, 9/2, 11/2 levels).  
 Band( $\Delta$ N) 5/2[523] band. A=11.2 (5/2, 7/2, 9/2 levels).  
 Band(eo) 5/2[642] band. Small admixture from  $\beta$  vibration built on 5/2[642] ([1968Mi08](#)).  
 Band(ip) 1/2[510] band. Admixed with  $\gamma$  vibration, possibly the K-2 vibration built on 5/2[512]. Tentative assignment; populations in (d,p) are  $\approx$ 40% of expected strength.

Cross Reference (XREF) Flags

<b>A</b>	<sup>169</sup> Yb IT decay (46 s)	<b>E</b>	<sup>168</sup> Yb(n, $\gamma$ ) E=thermal
<b>B</b>	<sup>169</sup> Lu $\epsilon$ decay (34.06 h)	<b>F</b>	<sup>168</sup> Yb(d,p), <sup>170</sup> Yb(d,t)
<b>C</b>	<sup>124</sup> Sn( <sup>48</sup> Ca,3n $\gamma$ )	<b>G</b>	<sup>171</sup> Yb(p,t)
<b>D</b>	<sup>167</sup> Er( $\alpha$ ,2n $\gamma$ )	<b>H</b>	<sup>168</sup> Yb(n, $\gamma$ ) E=resonance

E(level) <sup>†</sup>	J $^\pi$	T <sub>1/2</sub>	XREF	Comments
0.0	7/2 <sup>+</sup>	32.018 <sup>&amp;</sup> d 5	ABCDEF	% $\epsilon$ =100 $\mu$ =-0.635 8; Q=+3.54 6 $\mu$ ,Q: collinear fast-beam LASER spectroscopy ( <a href="#">1989Ra17</a> , from <a href="#">1983Ne13</a> ); $\mu$ relative to $\mu$ =-0.67989 3, and Q relative to Q=+2.80 4, for <sup>173</sup> Yb. Others: $\mu$ =-0.633 16, Q=+3.52 7 ( <a href="#">1989Ra17</a> , from <a href="#">1974Ch38</a> ). $J^\pi$ : optical spectroscopy ( <a href="#">1974Ch38</a> ); E3 24 $\gamma$ from 1/2 <sup>-</sup> 24.
24.1999 16	1/2 <sup>-</sup>	46 s 2	ABCDEFG	%IT=100 $\mu$ =+0.507 8 %IT: $\epsilon$ decay unlikely (for $\epsilon$ decay to 1/2 <sup>+</sup> <sup>169</sup> Tm g.s., % $\epsilon$ +% $\beta^+$ <0.05% is implied by log <i>ft</i> >5.9). $\mu$ : collinear fast-beam LASER spectroscopy ( <a href="#">1989Ra17</a> ); value relative to $\mu$ =-0.67989 3 for <sup>173</sup> Yb, and no hyperfine anomaly correction has been applied. $J^\pi$ : collinear fast-beam LASER spectroscopy ( <a href="#">1983Ne13</a> ); L=0 in (p,t) on 1/2 <sup>-</sup> target. T <sub>1/2</sub> : from <sup>169</sup> Yb IT decay (46 s) ( <a href="#">1960Ho10</a> ); other value: 50 s ( <a href="#">1949De16</a> ), also from <sup>169</sup> Yb IT decay (46 s).
70.8815 8	9/2 <sup>+</sup> <sup>‡</sup>		BCDEFG	
86.9188 16	3/2 <sup>-</sup>		B DEFG	$J^\pi$ : M1+E2 $\gamma$ to 1/2 <sup>-</sup> .
99.2405 15	5/2 <sup>-</sup> <sup>‡</sup>		BCDEFG	$J^\pi$ : L=2 for (p,t) on 1/2 <sup>-</sup> target consistent with established $J^\pi$ .
161.6505 10	11/2 <sup>+</sup> <sup>‡</sup>		BCDEF	
191.2142 13	5/2 <sup>-</sup>	3.35 ns 15	B DEFG	$J^\pi$ : M1+E2 104 $\gamma$ to 3/2 <sup>-</sup> , E1+M2 191 $\gamma$ to 7/2 <sup>+</sup> . T <sub>1/2</sub> : $\gamma\gamma$ (t) in <sup>169</sup> Lu $\epsilon$ decay (34.06 h) ( <a href="#">1968Lo10</a> ).
243.8163 17	7/2 <sup>-</sup> <sup>‡</sup>		B DEFG	$J^\pi$ : M1+E2 145 $\gamma$ to 5/2 <sup>-</sup> 99; E2 157 $\gamma$ to 3/2 <sup>-</sup> 87.
264.2538 21	9/2 <sup>-</sup> <sup>‡</sup>		BCDEFG	$J^\pi$ : M1 20 $\gamma$ to 7/2 <sup>-</sup> 244; E2 165 $\gamma$ to 5/2 <sup>-</sup> 99.
269.6554 24	13/2 <sup>+</sup> <sup>‡</sup>		BCDEF	$J^\pi$ : M1+E2 108 $\gamma$ to 11/2 <sup>+</sup> 162;

Continued on next page (footnotes at end of table)

**Adopted Levels, Gammas (continued)**

<sup>169</sup>Yb Levels (continued)

E(level) <sup>†</sup>	J <sup>π</sup>	XREF	Comments
278.5983 14	7/2 <sup>-</sup>	B DEF	J <sup>π</sup> : M1+E2 87γ to 5/2 <sup>-</sup> 191; E1+M2 208γ to 9/2 <sup>+</sup> 71.
389.5279 15	9/2 <sup>-</sup>	B DEF	J <sup>π</sup> : M1+E2 111γ to 7/2 <sup>-</sup> 279; E2 198γ to 5/2 <sup>-</sup> 191; 228γ to 11/2 <sup>+</sup> .
405.04 23	15/2 <sup>+</sup> ‡	CD	
486.937 3	(11/2 <sup>-</sup> )‡	B DEFG	J <sup>π</sup> : (E2) intraband 243γ to 7/2 <sup>-</sup> 244.
512.029 15	(13/2 <sup>-</sup> )‡	BCDE G	J <sup>π</sup> : E2 248γ to 9/2 <sup>-</sup> 264.
523.085 3	11/2 <sup>-</sup> ‡	B DEF	
547.14 25	17/2 <sup>+</sup> ‡	CD	
569.834 3	5/2 <sup>-</sup>	B EFG	J <sup>π</sup> : M1+E2 291γ to 7/2 <sup>-</sup> 279, M1 483γ to 3/2 <sup>-</sup> 87.
590.689 6	(5/2 <sup>+</sup> )	B EF	J <sup>π</sup> : M1+E2 591γ to 7/2 <sup>+</sup> ; J=5/2 consistent with band assignment.
647.276 9	7/2 <sup>+</sup>	B E	J <sup>π</sup> : M1+E2 γ to 9/2 <sup>+</sup> , M1+E2 γ to 7/2 <sup>+</sup> ; nuclear orientation data rule out 9/2 (1982Da23).
647.836 3	7/2 <sup>-</sup>	B EF	J <sup>π</sup> : M1+E2 258γ to 9/2 <sup>-</sup> 190, M1+E2 548γ to 5/2 <sup>-</sup> 99.
659.630 <sup>a</sup> 6	3/2 <sup>-</sup>	B EFG	J <sup>π</sup> : (M1) 560γ to 5/2 <sup>-</sup> 99, M1 635γ to 1/2 <sup>-</sup> 24; established band member.
677.111 6	13/2 <sup>-</sup> ‡	DE	J <sup>π</sup> : (M1+E2) 154γ to 11/2 <sup>-</sup> 523; continuation of established band.
707.054 8	9/2 <sup>+</sup>	B EF	J <sup>π</sup> : M1+E2 546γ to 11/2 <sup>+</sup> 162; log ft=8.7 from 7/2 <sup>+</sup> .
719.953 <sup>b</sup> 6	3/2 <sup>+</sup>	B E	J <sup>π</sup> : E2 720γ to 7/2 <sup>+</sup> g.s.; primary γ from 1/2 <sup>+</sup> in <sup>168</sup> Yb(n,γ) E=thermal.
722.279 <sup>a</sup> 6	5/2 <sup>-</sup>	B EF	J <sup>π</sup> : M1 478γ to 7/2 <sup>-</sup> 244, M1 635γ to 3/2 <sup>-</sup> 87.
736.2 3	19/2 <sup>+</sup> ‡	CD	
749.026 5	(9/2 <sup>-</sup> )	B EFG	J <sup>π</sup> : M1 470γ to 7/2 <sup>-</sup> 279; 226γ to 11/2 <sup>-</sup> 523, 587γ to 11/2 <sup>+</sup> 162.
757.871 18	(11/2 <sup>+</sup> )	E	J <sup>π</sup> : 488γ to 13/2 <sup>+</sup> 270; 596γ to 11/2 <sup>+</sup> 162; band assignment.
761.846 <sup>b</sup> 7	(5/2 <sup>+</sup> )	B E	J <sup>π</sup> : M1+E2 762γ to 7/2 <sup>+</sup> g.s.; band assignment.
807.074 <sup>a</sup> 10	(7/2 <sup>-</sup> )	B EFG	J <sup>π</sup> : M1+E2 708γ to 5/2 <sup>-</sup> 99, (M1) 543γ to 9/2 <sup>-</sup> 264.
807.6 5	(15/2 <sup>-</sup> )‡	D	
813.337 <sup>c</sup> 9	(1/2 <sup>-</sup> )	E	J <sup>π</sup> : M1+E2 726γ to 3/2 <sup>-</sup> 87; primary γ from 1/2 <sup>+</sup> in <sup>168</sup> Yb(n,γ) E=thermal; band assignment.
831.936 <sup>b</sup> 9	(7/2 <sup>+</sup> )	B E	J <sup>π</sup> : M1+E2 761γ to 9/2 <sup>+</sup> 71; 112γ to 3/2 <sup>+</sup> 720.
833.8 3	(17/2 <sup>-</sup> )‡	CD	
851.394 <sup>c</sup> 10	3/2 <sup>-</sup>	B EF	J <sup>π</sup> : M1+E2 660γ to 5/2 <sup>-</sup> 191, M1 827γ to 1/2 <sup>-</sup> 24.
851.5 4	15/2 <sup>-</sup> ‡	D	
865.170 14	(11/2 <sup>-</sup> )@	EF	XREF: F(871). J <sup>π</sup> : 353γ to 13/2 <sup>-</sup> 512, 217γ to 7/2 <sup>-</sup> 648, band assignment.
877 3	(13/2 <sup>+</sup> )@	F	
886.81 <sup>b</sup> 4	9/2 <sup>+</sup>	B	J <sup>π</sup> : M1+E2 725γ to 11/2 <sup>+</sup> 162; log ft=8.8 from 7/2 <sup>+</sup> .
903.2 4	21/2 <sup>+</sup> ‡	CD	
911.640 <sup>c</sup> 10	(5/2 <sup>-</sup> )	B EF	J <sup>π</sup> : M1 668γ to 7/2 <sup>-</sup> 244, (M1) 825γ to 3/2 <sup>-</sup> 87.
919.806 <sup>a</sup> 10	(9/2 <sup>-</sup> )	B Ef	J <sup>π</sup> : M1 676γ to 7/2 <sup>-</sup> 244; 433γ to (11/2 <sup>-</sup> ) 487; band assignment.
929.12 3	11/2 <sup>-</sup>	B f	J <sup>π</sup> : E1+M2 768γ to 11/2 <sup>+</sup> ; log f <sup>1u</sup> t=9.8 from 7/2 <sup>+</sup> . Proposed as 11/2[505] bandhead in 1980Ba07.
946.487? 12		E	J <sup>π</sup> : possible transitions to 11/2 <sup>+</sup> and 11/2 <sup>-</sup> and 9/2 <sup>+</sup> suggest J <sup>π</sup> =(9/2,11/2,13/2 <sup>+</sup> ).
960.594 <sup>d</sup> 13	7/2 <sup>-</sup>	B EF	J <sup>π</sup> : E1 890γ to 9/2 <sup>+</sup> 71, E1 961γ to 7/2 <sup>+</sup> g.s.; nuclear orientation data rule out J=9/2 (1982Da23).
996.69 <sup>c</sup> 6	(7/2 <sup>-</sup> )	EF	J <sup>π</sup> : M1 897γ to 5/2 <sup>-</sup> 99; band assignment.
1033.897 5	(1/2 <sup>+</sup> ,3/2)	EFG	J <sup>π</sup> : 1010γ to 1/2 <sup>-</sup> 24, 272γ to (5/2 <sup>+</sup> ) 762; primary γ from 1/2 <sup>+</sup> .
1042.6 5	(17/2 <sup>-</sup> )‡	D	
1061.101 <sup>a</sup> 15	(11/2 <sup>-</sup> )	B E	J <sup>π</sup> : 782γ to 7/2 <sup>-</sup> 279, 574γ to (11/2 <sup>-</sup> ) 487; band assignment.
1064.760 10	(5/2 <sup>+</sup> ,7/2,9/2 <sup>+</sup> )	EF	J <sup>π</sup> : 474γ to (5/2 <sup>+</sup> ) 591, 358γ to 9/2 <sup>+</sup> 707.
1070.665 <sup>f</sup> 16	7/2 <sup>+</sup>	B Ef	J <sup>π</sup> : E0+M1+E2 1071γ to 7/2 <sup>+</sup> g.s..
1078.338 <sup>d</sup> 19	9/2 <sup>-</sup>	B f	J <sup>π</sup> : E1+M2 917γ to 11/2 <sup>+</sup> 162, E1+M2 1078γ to 7/2 <sup>+</sup> g.s..
1110.706 8	3/2 <sup>-</sup> ,5/2 <sup>-</sup>	EFG	J <sup>π</sup> : L=2 for (p,t) on 1/2 <sup>-</sup> target. Proposed in 1988DzZW as possible β vibration

Continued on next page (footnotes at end of table)

**Adopted Levels, Gammas (continued)**

<sup>169</sup>Yb Levels (continued)

E(level) <sup>†</sup>	J <sup>π</sup>	XREF	Comments
1134 3		F	on 1/2[521], but J=1/2 is inconsistent with reported L(p,t).
1141.26 <sup>f</sup> 10	(9/2) <sup>+</sup>	E	J <sup>π</sup> : E2(+M1) 980γ to 11/2 <sup>+</sup> 162, 1141γ to 7/2 <sup>+</sup> g.s., 872γ to 13/2 <sup>+</sup> 270; band assignment.
1157.0 4	23/2 <sup>+</sup> <sup>‡</sup>	CD	
1159.88 4	(5/2 <sup>+</sup> )	E	J <sup>π</sup> : primary γ from 1/2 <sup>+</sup> , 512γ to 7/2 <sup>-</sup> 648, possible 1089γ to 9/2 <sup>+</sup> 71.
1167.629 15	(7/2,9/2) <sup>-</sup>	B Fg	<b>Additional information 1.</b>
1176.652 12	(7/2,9/2) <sup>+</sup>	B EFg	J <sup>π</sup> : M1+E2 247γ to (9/2) <sup>-</sup> 920, (E2) γ to 7/2 <sup>-</sup> , 1068γ to 5/2 <sup>-</sup> 99. J <sup>π</sup> : M1(+E2) 1106γ to 9/2 <sup>+</sup> 271, 230γ to 7/2 <sup>-</sup> 961. Tentatively suggested as 9/2[624] bandhead (1980Ba07).
1198 3		F	
1198.7 7	(19/2 <sup>-</sup> ) <sup>‡</sup>	D	
1202.256 11	(5/2 <sup>+</sup> )	E	J <sup>π</sup> : 1131γ to 9/2 <sup>+</sup> 71, 1115γ to 3/2 <sup>-</sup> 87, primary γ from 1/2 <sup>+</sup> .
1204.55 17		B	J <sup>π</sup> : 614γ to (5/2) <sup>+</sup> 591; 1118γ to 3/2 <sup>-</sup> 87.
1218.0 5	(21/2 <sup>-</sup> ) <sup>‡</sup>	CD	
1225.42 8	1/2,3/2,5/2 <sup>+</sup> <sup>#</sup>	EF	
1232.220 23	(3/2 <sup>-</sup> )	E	J <sup>π</sup> : 272γ to 7/2 <sup>-</sup> 691; possible 419γ to (1/2) <sup>-</sup> 819; primary γ from 1/2 <sup>+</sup> .
1250.5? 5	(19/2 <sup>-</sup> ) <sup>‡</sup>	D	
1261.890 17	(5/2,7/2 <sup>-</sup> )	E	J <sup>π</sup> : 602γ to 3/2 <sup>-</sup> 660, 615γ to 7/2 <sup>+</sup> 647, 455γ to (7/2) <sup>-</sup> 807.
1270.742 8	(1/2) <sup>-</sup>	E	J <sup>π</sup> : primary γ from 1/2 <sup>+</sup> in <sup>168</sup> Yb(n,γ) E=thermal; M1 1184γ to 3/2 <sup>-</sup> 87; 1247γ with probable E0 component to 1/2 <sup>-</sup> .
1283.275 18	(7/2,9/2) <sup>-</sup>	B F	J <sup>π</sup> : E1+M2 1283γ to 7/2 <sup>+</sup> g.s., E1+M2 1213γ to 9/2 <sup>+</sup> 71.
1285.126 8	(3/2 <sup>+</sup> ,5/2,7/2 <sup>+</sup> )	E	J <sup>π</sup> : 1285γ to 7/2 <sup>+</sup> g.s., 565γ to 3/2 <sup>+</sup> 720.
1296.671 11	(3/2 <sup>-</sup> ,5/2,7/2 <sup>-</sup> )	E	J <sup>π</sup> : 1210γ to 3/2 <sup>-</sup> 287, possible 1018γ to 7/2 <sup>-</sup> 279.
1311.798 12	(5/2 <sup>+</sup> ,7/2)	E	J <sup>π</sup> : 1068γ to 7/2 <sup>-</sup> 244, 592γ to 3/2 <sup>+</sup> 720, 135γ to (7/2,9/2) <sup>+</sup> 1177.
1319.827 12	(1/2) <sup>-</sup>	EF	J <sup>π</sup> : M1 1232γ to 3/2 <sup>-</sup> 87; 1/2 <sup>-</sup> consistent with band assignment.
1336.2 6	(25/2) <sup>+</sup> <sup>‡</sup>	CD	
1343.62 3	(7/2) <sup>-</sup>	B	J <sup>π</sup> : M1 1244γ to 5/2 <sup>-</sup> 99, strong 1272γ to 9/2 <sup>+</sup> 71.
1350.148 12	(3/2 <sup>-</sup> )	Efg	J <sup>π</sup> : (M1) 1326γ to 1/2 <sup>-</sup> 24; primary γ from 1/2 <sup>+</sup> in (n,γ) E=thermal; band assignment.
1354.818 13	(3/2 <sup>-</sup> )	Efg	J <sup>π</sup> : (M1) 1163γ to 5/2 <sup>-</sup> 191; primary γ from 1/2 <sup>+</sup> in <sup>168</sup> Yb(n,γ) E=thermal.
1395.402 11	(5/2 <sup>-</sup> ) <sup>@</sup>	EF	J <sup>π</sup> : 1131γ to 9/2 <sup>-</sup> 264; γ to 3/2 <sup>-</sup> ,5/2 <sup>-</sup> 1110; population in (d,p).
1398.713 14	(3/2) <sup>-</sup>	E	J <sup>π</sup> : M1 1208γ to 5/2 <sup>-</sup> 191, (M1) 1374γ to 1/2 <sup>-</sup> 24.
1406.34 3	9/2 <sup>-</sup>	B	<b>Additional information 2.</b> J <sup>π</sup> : M1 1141γ to 9/2 <sup>-</sup> 264, E1+M2 1406γ to 7/2 <sup>+</sup> g.s.; nuclear orientation data rule out J=7/2 (1982Da23).
1420.48 10	(5/2 <sup>-</sup> ,7/2,9/2 <sup>-</sup> )	B fg	<b>Additional information 3.</b> J <sup>π</sup> : 1156γ to 9/2 <sup>-</sup> 264; possible 1321γ to 5/2 <sup>-</sup> 99. Proposed as J=7/2 member of 1/2[521] β vibration band in 1980Ba07. However, level is absent from 1988DzZW.
1426.76 5	(7/2,9/2) <sup>-</sup>	B fg	J <sup>π</sup> : M1 1162γ to 9/2 <sup>-</sup> 264, 857γ to 5/2 <sup>-</sup> 570.
1444.73 5	7/2 <sup>-</sup> ,9/2 <sup>-</sup>	B	<b>Additional information 4.</b> J <sup>π</sup> : M1(+E2) 1180γ to 9/2 <sup>-</sup> 264; nuclear orientation data rule out J=11/2 (1982Da23).
1449.773 <sup>e</sup> 11	7/2 <sup>-</sup>	B E	J <sup>π</sup> : E1 1379γ to 9/2 <sup>+</sup> 71, M1+E2 1351γ to 5/2 <sup>-</sup> 99.
1463.024 17	(7/2 <sup>-</sup> )	E	J <sup>π</sup> : 598γ to (11/2 <sup>-</sup> ) 865; 612γ to 3/2 <sup>-</sup> 851.
1463.402 17	7/2 <sup>-</sup>	B Fg	J <sup>π</sup> : M1+E2 γ to 9/2 <sup>-</sup> , E1+M2 γ to 7/2 <sup>+</sup> ; nuclear orientation data rule out J=9/2 (1980DuZP).
1464.98 5	(7/2) <sup>-</sup>	Efg	J <sup>π</sup> : M1+E2 γ to 7/2 <sup>-</sup> 244; band assignment.
1478.510 16	(3/2 <sup>-</sup> ,5/2 <sup>+</sup> )	Efg	J <sup>π</sup> : 518γ to 7/2 <sup>-</sup> 960; primary γ from 1/2 <sup>+</sup> in (n,γ) E=thermal.
1509.7 9	1/2 <sup>-</sup>	E G	J <sup>π</sup> : L=0 for (p,t) on 1/2 <sup>-</sup> target.
1524.134 25	1/2,3/2,5/2 <sup>+</sup> <sup>#</sup>	Efg	
1531.570 13	(3/2 <sup>-</sup> ,5/2 <sup>+</sup> )	Efg	J <sup>π</sup> : 571γ to 7/2 <sup>-</sup> 960; primary γ from 1/2 <sup>+</sup> in (n,γ) E=thermal.

Continued on next page (footnotes at end of table)

**Adopted Levels, Gammas (continued)**

<sup>169</sup>Yb Levels (continued)

E(level) <sup>†</sup>	J <sup>π</sup>	XREF	Comments
1540.80 3	9/2 <sup>-</sup>	B	<b>Additional information 5.</b> J <sup>π</sup> : M1 1018γ to 11/2 <sup>-</sup> 523; M1+E2 1297γ to 7/2 <sup>-</sup> 244.
1554.860 23	(1/2 <sup>-</sup> )	Ef	J <sup>π</sup> : primary γ from 1/2 <sup>+</sup> in <sup>168</sup> Yb(n,γ) E=thermal; possible 1531γ with E0 component to 1/2 <sup>-</sup> 24.
1554.876 <sup>e</sup> 23	9/2 <sup>-</sup>	B f	J <sup>π</sup> : M1+E2 1032γ to 11/2 <sup>-</sup> 523, M1 1311γ to 7/2 <sup>-</sup> 244.
1565.62 5	(7/2 <sup>-</sup> )	B F	<b>Additional information 6.</b> J <sup>π</sup> : (M1) 1301γ to 9/2 <sup>-</sup> 264; (M1) 1375γ to 5/2 <sup>-</sup> 191.
1585.876 15	(1/2 <sup>-</sup> )	E G	J <sup>π</sup> : L=(0) for (p,t) on 1/2 <sup>-</sup> target.
1607 6		F	
1616.683 12	(1/2 <sup>+</sup> ,3/2,5/2 <sup>+</sup> )	E	J <sup>π</sup> : 305γ to (5/2 <sup>+</sup> ,7/2) 1312; primary γ from 1/2 <sup>+</sup> in (n,γ).
1618.784 15	1/2,3/2	E G	J <sup>π</sup> : strong primary γ from 1/2 <sup>+</sup> in (n,γ) E=thermal; 1595γ to 1/2 <sup>-</sup> 24.
1640 6		F	
1650.5 9	(23/2 <sup>-</sup> ) <sup>‡</sup>	D	
1655.2 7	(25/2 <sup>-</sup> ) <sup>‡</sup>	CD	
1656.48 4	5/2 <sup>-</sup> ,7/2 <sup>-</sup> ,9/2 <sup>-</sup>	B	<b>Additional information 7.</b> J <sup>π</sup> : M1+E2 1412γ to 7/2 <sup>-</sup> 244.
1657.948 22	5/2 <sup>+</sup>	B	J <sup>π</sup> : M1+E2 1658γ to 7/2 <sup>+</sup> g.s.; E1+M2 1466γ to 5/2 <sup>-</sup> 191; nuclear orientation data rule out J=7/2 ( <b>1982Da23</b> ).
1666.1 8	(27/2 <sup>+</sup> ) <sup>‡</sup>	CD	
1688.92 13	(5/2,7/2) <sup>-</sup>	Ef	J <sup>π</sup> : M1 1498γ to 5/2 <sup>-</sup> 191; 1689 γ to 7/2 <sup>+</sup> g.s..
1689.289 22	7/2 <sup>-</sup>	B f	J <sup>π</sup> : M1+E2 1498γ to 5/2 <sup>-</sup> 191; E1(+M2) 1618γ to 9/2 <sup>+</sup> 71.
1694.43 6	5/2 <sup>+</sup>	B f	<b>Additional information 8.</b> J <sup>π</sup> : E1(+M2) 1694γ to 3/2 <sup>-</sup> 87; log ft=8.6 from 7/2 <sup>+</sup> .
1696.364 15	3/2 <sup>-</sup>	E	J <sup>π</sup> : M1 1506γ to 5/2 <sup>-</sup> 191; primary γ from 1/2 <sup>+</sup> in <sup>168</sup> Yb(n,γ) E=thermal.
1707.83 6	(7/2,9/2) <sup>+</sup>	B	<b>Additional information 9.</b> J <sup>π</sup> : M1+E2 1637γ to 9/2 <sup>+</sup> 71; (M1+E2) doubly-placed 1708γ to 7/2 <sup>+</sup> g.s.; nuclear orientation data rule out J=5/2 ( <b>1982Da23</b> ).
1708.48 4	7/2 <sup>-</sup>	B g	<b>Additional information 10.</b> J <sup>π</sup> : M1+E2 1430γ to 7/2 <sup>-</sup> 279, M1+E2 1517γ to 5/2 <sup>-</sup> 191; nuclear orientation data rule out J=5/2 ( <b>1982Da23</b> ).
1716.196 21	7/2 <sup>+</sup>	B g	J <sup>π</sup> : M1+E2 1645γ to 9/2 <sup>+</sup> 71, E1(+M2) 1525γ to 5/2 <sup>-</sup> 191.
1724.57 3	(3/2 <sup>-</sup> )	E	J <sup>π</sup> : 1480γ to 7/2 <sup>-</sup> 244; 454γ to (1/2) <sup>-</sup> 1271; primary γ from 1/2 <sup>+</sup> in (n,γ) E=thermal.
1733 6		F	
1742.876 18	(3/2 <sup>+</sup> ,5/2,7/2 <sup>-</sup> )	E	J <sup>π</sup> : 1744γ to 7/2 <sup>+</sup> g.s.; 511γ to (3/2 <sup>-</sup> ) 1234.
1745.0 8	(1/2 <sup>-</sup> )	E G	XREF: G(1740). J <sup>π</sup> : L=(0) for (p,t) on 1/2 <sup>-</sup> target. Consistent with observation of primary γ from 1/2 <sup>+</sup> in (n,γ) E=thermal.
1757.3 9	1/2,3/2,5/2 <sup>+</sup> #	E	
1767 6		F	
1781.239 24	(3/2 <sup>-</sup> ,5/2 <sup>-</sup> )	E	J <sup>π</sup> : 226γ to (1/2 <sup>-</sup> ) 1555; 1133γ to 7/2 <sup>-</sup> 648. If 1392γ is correctly placed, J <sup>π</sup> =3/2 <sup>-</sup> can be eliminated. Level proposed in <b>1988DzZW</b> . Differs from 1781 level known from ε decay because decay pattern differs.
1781.715 19	7/2 <sup>-</sup>	B g	J <sup>π</sup> : M1 703γ to 9/2 <sup>-</sup> 1078; M1+E2 1682γ to 5/2 <sup>-</sup> 99.
1787.3 8	1/2,3/2,5/2 <sup>+</sup> #	E g	
1796.676 22	(3/2 <sup>-</sup> ,5/2 <sup>+</sup> )	E	J <sup>π</sup> : 989γ to (7/2) <sup>-</sup> 807; primary γ from 1/2 <sup>+</sup> in (n,γ) E=thermal.
1828.053 15	1/2,3/2,5/2 <sup>+</sup>	E	J <sup>π</sup> : primary γ from 1/2 <sup>+</sup> in (n,γ) E=thermal; 132γ to 3/2 <sup>-</sup> 1697. However, 1563γ to 9/2 <sup>-</sup> 264 is inconsistent with primary γ feeding, suggesting this γ may be misplaced.
1837.5 7	1/2,3/2,5/2 <sup>+</sup> #	E	
1844.6 9	(29/2 <sup>+</sup> ) <sup>‡</sup>	CD	
1857.4 9	1/2,3/2,5/2 <sup>+</sup> #	E	

Continued on next page (footnotes at end of table)

**Adopted Levels, Gammas (continued)**

<sup>169</sup>Yb Levels (continued)

E(level) <sup>†</sup>	J <sup>π</sup>	XREF	Comments
1867.66 4	(3/2 <sup>-</sup> ,5/2 <sup>+</sup> )	E	J <sup>π</sup> : 1624γ to 7/2 <sup>-</sup> 244; primary γ from 1/2 <sup>+</sup> in (n,γ) E=thermal.
1888.00 6	(7/2 <sup>+</sup> ,9/2 <sup>+</sup> )	B	<a href="#">Additional information 11.</a> J <sup>π</sup> : 1127γ to (5/2) <sup>+</sup> 762; 1726γ to 11/2 <sup>+</sup> 162.
1894.0 8	1/2,3/2,5/2 <sup>+</sup> #	E	
1908.657 25	5/2 <sup>+</sup>	B	J <sup>π</sup> : E1+M2 1339γ to 5/2 <sup>-</sup> 570, 1261γ to 7/2 <sup>-</sup> 648; nuclear orientation data for 1339γ rule out J=7/2 ( <a href="#">1982Da23</a> ).
1910.9 10	1/2,3/2,5/2 <sup>+</sup> #	E	
1920.5 9	1/2,3/2,5/2 <sup>+</sup> #	E	
1939.0 7	1/2,3/2,5/2 <sup>+</sup> #	E G	
1954.54 3	5/2 <sup>-</sup> ,7/2 <sup>-</sup>	B	<a href="#">Additional information 12.</a> J <sup>π</sup> : M1 1676γ to 7/2 <sup>-</sup> 279; M1(+E2) 1763γ to 5/2 <sup>-</sup> 191.
1972.23 5	9/2 <sup>-</sup>	B g	<a href="#">Additional information 13.</a> J <sup>π</sup> : M1+E2 1043γ to 11/2 <sup>-</sup> 929; log ft=7.5 from 7/2 <sup>+</sup> .
1974.046 22	7/2 <sup>-</sup>	B g	J <sup>π</sup> : E1 1327γ to 7/2 <sup>+</sup> g.s.; (E1+M2) 1903γ to 9/2 <sup>+</sup> 71; nuclear orientation consistent only with J=7/2 ( <a href="#">1982Da23</a> ).
1998.4 7	1/2,3/2,5/2 <sup>+</sup> #	E G	
2029.92 4	7/2 <sup>-</sup>	B	J <sup>π</sup> : 1838γ to 5/2 <sup>-</sup> 191; (E1(+M2)) 1989γ to 9/2 <sup>+</sup> 71; M1+E2 1110γ to π=- 920; nuclear orientation data consistent only with J=7/2 ( <a href="#">1982Da23</a> ).
2037.7 8	1/2,3/2,5/2 <sup>+</sup> #	E	
2048.2 11	1/2,3/2,5/2 <sup>+</sup> #	E G	
2065.04 11	7/2 <sup>+</sup>	B	J <sup>π</sup> : M1+E2+E0 2065γ to 7/2 <sup>+</sup> g.s..
2101.03 7	(5/2,7/2) <sup>-</sup>	B	J <sup>π</sup> : M1,E2 2014γ to 3/2 <sup>-</sup> 87; 2101γ to 7/2 <sup>+</sup> g.s..
2103.6 7	1/2,3/2,5/2 <sup>+</sup> #	E	
2123.2 12	1/2,3/2,5/2 <sup>+</sup> #	E G	
2135.4 4		B	J <sup>π</sup> : 2135γ to 7/2 <sup>+</sup> g.s..
2139.9 8	(29/2 <sup>-</sup> ) <sup>‡</sup>	C	
2192.9 10	1/2,3/2,5/2 <sup>+</sup> #	E	
2217.5 10	1/2,3/2,5/2 <sup>+</sup> #	E	
2234.5 9	1/2,3/2,5/2 <sup>+</sup> #	E	
2244.5 7	1/2,3/2,5/2 <sup>+</sup> #	E	
2258.1 22	(31/2 <sup>+</sup> ) <sup>‡</sup>	C	
2286.2 12	1/2,3/2,5/2 <sup>+</sup> #	E G	
2287.23 5	7/2 <sup>-</sup>	B	J <sup>π</sup> : M1 2096γ to 5/2 <sup>-</sup> 191; M1 1898γ to 9/2 <sup>-</sup> 390.
2296.85 15	5/2 <sup>-</sup> ,7/2 <sup>-</sup> ,9/2 <sup>-</sup>	B	J <sup>π</sup> : M1 848γ to 7/2 <sup>-</sup> 1450.
2299.1 9	1/2,3/2,5/2 <sup>+</sup> #	E	
2313.6 7	1/2,3/2,5/2 <sup>+</sup> #	E	
2342.4 9	1/2,3/2,5/2 <sup>+</sup> #	E	
2350.1 8	1/2,3/2,5/2 <sup>+</sup> #	E	
2355.6 8	1/2,3/2,5/2 <sup>+</sup> #	E	
2375.9 10	1/2,3/2,5/2 <sup>+</sup> #	E	
2381.4 10	1/2,3/2,5/2 <sup>+</sup> #	E	
2388.0 9	1/2,3/2,5/2 <sup>+</sup> #	E	
2401.0 9	1/2,3/2,5/2 <sup>+</sup> #	E	
2407.4 9	1/2,3/2,5/2 <sup>+</sup> #	E	
2415.4 9	1/2,3/2,5/2 <sup>+</sup> #	E	
2426.1 11	(33/2 <sup>+</sup> ) <sup>‡</sup>	C	
2427.5 9	1/2,3/2,5/2 <sup>+</sup> #	E	

Continued on next page (footnotes at end of table)

**Adopted Levels, Gammas (continued)**

<sup>169</sup>Yb Levels (continued)

E(level) <sup>†</sup>	J <sup>π</sup>	XREF	E(level) <sup>†</sup>	J <sup>π</sup>	XREF		
2441.1	10	1/2,3/2,5/2 <sup>+</sup> #	E	3075.2	12	(37/2 <sup>+</sup> ) <sup>‡</sup>	C
2449.8	8	1/2,3/2,5/2 <sup>+</sup> #	E	3094.5	9	1/2,3/2,5/2 <sup>+</sup> #	E
2477.9	10	1/2,3/2,5/2 <sup>+</sup> #	E	3105.6	7	1/2,3/2,5/2 <sup>+</sup> #	E
2498.7	8	1/2,3/2,5/2 <sup>+</sup> #	E	3118.9	11	1/2,3/2,5/2 <sup>+</sup> #	E
2504.4	9	1/2,3/2,5/2 <sup>+</sup> #	E	3130.3	9	1/2,3/2,5/2 <sup>+</sup> #	E
2517.1	10	1/2,3/2,5/2 <sup>+</sup> #	E	3142.6	8	1/2,3/2,5/2 <sup>+</sup> #	E
2522.8	8	1/2,3/2,5/2 <sup>+</sup> #	E	3173.8	8	1/2,3/2,5/2 <sup>+</sup> #	E
2530.3	8	1/2,3/2,5/2 <sup>+</sup> #	E	3238.3	9	(37/2 <sup>-</sup> ) <sup>‡</sup>	C
2551.1	8	1/2,3/2,5/2 <sup>+</sup> #	E	3246.5	9	1/2,3/2,5/2 <sup>+</sup> #	E
2620.9	10	1/2,3/2,5/2 <sup>+</sup> #	E	3274.0	15	1/2,3/2,5/2 <sup>+</sup> #	E
2634.0	12	1/2,3/2,5/2 <sup>+</sup> #	E	3344.4	8	1/2,3/2,5/2 <sup>+</sup> #	E
2655.4	7	1/2,3/2,5/2 <sup>+</sup> #	E	3375.4	8	1/2,3/2,5/2 <sup>+</sup> #	E
2667.7	9	(33/2 <sup>-</sup> ) <sup>‡</sup>	C	3450.0	9	1/2,3/2,5/2 <sup>+</sup> #	E
2679.7	8	1/2,3/2,5/2 <sup>+</sup> #	E	3526.7	8	1/2,3/2,5/2 <sup>+</sup> #	E
2684.8	11	1/2,3/2,5/2 <sup>+</sup> #	E	3559.9	9	1/2,3/2,5/2 <sup>+</sup> #	E
2705.9	8	1/2,3/2,5/2 <sup>+</sup> #	E	3588	3	(39/2 <sup>+</sup> ) <sup>‡</sup>	C
2741.8	9	1/2,3/2,5/2 <sup>+</sup> #	E	3657.0	10	1/2,3/2,5/2 <sup>+</sup> #	E
2774.5	9	1/2,3/2,5/2 <sup>+</sup> #	E	3782.2	14	(41/2 <sup>+</sup> ) <sup>‡</sup>	C
2781.0	10	1/2,3/2,5/2 <sup>+</sup> #	E	3855.8	10	(41/2 <sup>-</sup> ) <sup>‡</sup>	C
2801.9	10	1/2,3/2,5/2 <sup>+</sup> #	E	4330	4	(43/2 <sup>+</sup> ) <sup>‡</sup>	C
2827.2	7	1/2,3/2,5/2 <sup>+</sup> #	E	4524.4	15	(45/2 <sup>+</sup> ) <sup>‡</sup>	C
2856.0	9	1/2,3/2,5/2 <sup>+</sup> #	E	4526.6	11	(45/2 <sup>-</sup> ) <sup>‡</sup>	C
2869.9	9	1/2,3/2,5/2 <sup>+</sup> #	E	5116	4	(47/2 <sup>+</sup> ) <sup>‡</sup>	C
2891.6	7	1/2,3/2,5/2 <sup>+</sup> #	E	5256.2	12	(49/2 <sup>-</sup> ) <sup>‡</sup>	C
2917.3	8	1/2,3/2,5/2 <sup>+</sup> #	E	5272.5	16	(49/2 <sup>+</sup> ) <sup>‡</sup>	C
2929	3	(35/2 <sup>+</sup> ) <sup>‡</sup>	C	6046.2	17	(53/2 <sup>+</sup> ) <sup>‡</sup>	C
2932.8	15	1/2,3/2,5/2 <sup>+</sup> #	E	6048.0	12	(53/2 <sup>-</sup> ) <sup>‡</sup>	C
2952.0	10	1/2,3/2,5/2 <sup>+</sup> #	E	6875	3	(57/2 <sup>+</sup> ) <sup>‡</sup>	C
2988.6	9	1/2,3/2,5/2 <sup>+</sup> #	E	6903.3	13	(57/2 <sup>-</sup> ) <sup>‡</sup>	C
2998.9	10	1/2,3/2,5/2 <sup>+</sup> #	E	7771	4	(61/2 <sup>+</sup> ) <sup>‡</sup>	C
3015.2	12	1/2,3/2,5/2 <sup>+</sup> #	E	7823.0	13	(61/2 <sup>-</sup> ) <sup>‡</sup>	C
3027.4	10	1/2,3/2,5/2 <sup>+</sup> #	E	8806.3	13	(65/2 <sup>-</sup> ) <sup>‡</sup>	C
3038.4	8	1/2,3/2,5/2 <sup>+</sup> #	E	9853.9	15	(69/2 <sup>-</sup> ) <sup>‡</sup>	C
3043.8	8	1/2,3/2,5/2 <sup>+</sup> #	E	10960.9	25	(73/2 <sup>-</sup> ) <sup>‡</sup>	C
3066.1	8	1/2,3/2,5/2 <sup>+</sup> #	E				

<sup>†</sup> From least-squares fit to adopted E<sub>γ</sub>, except where noted or where cross references clearly indicate other source. Note, however, that 9% of the 535 transitions deviate by at least 3σ from the least-squares predicted value (16 of these by at least 5σ); although some of these are multiply-placed transitions, it seems almost certain that some are misplaced.

<sup>‡</sup> Continuing J<sup>π</sup> pattern for band established by γ-ray multiplicities, coincidence data, and rotational structure.

# Primary transition from 1/2<sup>+</sup> in <sup>168</sup>Yb(n,γ) E=thermal.

@ Based on comparison of relative populations of levels within a band in <sup>168</sup>Yb(d,p) and <sup>170</sup>Yb(d,t) with population pattern expected for different J values for specific Nilsson orbitals.

---

**Adopted Levels, Gammas (continued)**

---

 $^{169}\text{Yb}$  Levels (continued)

- <sup>&</sup> weighted average of 31.97 d 5 (1975La16), 32.022 d 8 (1980Ho17), 32.015 d 9 (1980RuZY), 32.032 d 20 (1983Wa26,1983Fu12), 32.07 d 8 (1988Ki12), 31.88 d 4 (1990Pa08), 32.015 d 9 (2002Un02), 32.001 d 34 (2000Iw06), excluding the data of 1949Wa23 and 1990Pa08 from the average because they are statistical outliers (based on Chauvenet criterion). Others: 1946Bo09, 1949Wa23 (31.83 d 21), 1950Co16, 1951Ma25 (33.0 d 15), 1954Ha16, 1954Mi16, 1956Co13, 1975MeZJ, 1982HoZJ, 1990Pa08 (31.88 d 4).
- <sup>a</sup> Band(A):  $K^\pi=3/2[521]$  band. Includes large admixture of K-2  $\gamma$  vibration built on  $1/2[521]$  (1968Mi08). A=12.2, B=6.4 (3/2, 5/2, 7/2, 9/2 levels).
- <sup>b</sup> Band(B):  $K^\pi=3/2^+$  band.  $7/2[633]$   $\gamma$  vibration with some  $3/2[651]$  admixture (1968Mi08).
- <sup>c</sup> Band(C):  $K^\pi=1/2^-$  band. K-2  $\gamma$  vibration built on  $5/2[512]$ , with significant  $1/2[510]$  admixture (1968Mi08).
- <sup>d</sup> Band(D):  $7/2[514]$  band.
- <sup>e</sup> Band(E):  $7/2[503]?$  band. Tentative band assignment from 1980Ba07.
- <sup>f</sup> Band(F):  $\beta$  vibration band. Built on  $7/2[633]$  g.s.; band assignment from 1988DzZW.

**Adopted Levels, Gammas (continued)**

$\gamma(^{169}\text{Yb})$										
$E_i(\text{level})$	$J_i^\pi$	$E_\gamma^\dagger$	$I_\gamma^\ddagger$	$E_f$	$J_f^\pi$	Mult. <sup>†</sup>	$\delta^\dagger$	$\alpha^e$	$I_{(\gamma+ce)}$	Comments
24.1999	1/2 <sup>-</sup>	24.20 2	100	0.0	7/2 <sup>+</sup>	E3		2.58×10 <sup>5</sup>		B(E3)(W.u.)=0.0124 6
70.8815	9/2 <sup>+</sup>	70.8814 & 9	100	0.0	7/2 <sup>+</sup>	M1+E2	-0.31 +15-26	9.4 6		
86.9188	3/2 <sup>-</sup>	62.7190 & 6	100	24.1999	1/2 <sup>-</sup>	M1+E2	0.60 3	15.1 3		
99.2405	5/2 <sup>-</sup>	12.31 2	6.0 13	86.9188	3/2 <sup>-</sup>	M1+E2	0.026 +6-4	307 23		
		75.0404 & 8	100 2	24.1999	1/2 <sup>-</sup>	E2		10.05		
161.6505	11/2 <sup>+</sup>	90.7692 & 10	100.0 21	70.8815	9/2 <sup>+</sup>	M1+E2	-0.26 3	4.47		Other $\delta$ : -0.40 9 from ( $\alpha,2n\gamma$ ).
		161.6513 & 15	31.1 17	0.0	7/2 <sup>+</sup>	E2		0.555		
191.2142	5/2 <sup>-</sup>	91.9737 & 12	2.91 6	99.2405	5/2 <sup>-</sup>	M1(+E2)	-0.2 +4-3	4.30 7		B(M1)(W.u.)=1.81×10 <sup>-4</sup> 25; B(E2)(W.u.)=0.4 +15-4 Other $I_\gamma$ : 4.3 7 in ( $n,\gamma$ ) E=thermal.
		104.2955 & 17	2.32 8	86.9188	3/2 <sup>-</sup>	M1(+E2)	-0.55 +65-20	2.93 7		B(M1)(W.u.)=8×10 <sup>-5</sup> 5; B(E2)(W.u.)<1.0 +19-10
		167.0141 & 25	0.087 11	24.1999	1/2 <sup>-</sup>	[E2]		0.495		B(E2)(W.u.)=0.0155 21
		191.2137 & 15	100.0 23	0.0	7/2 <sup>+</sup>	E1+M2	-0.017 16	0.0631 25		B(E1)(W.u.)≈7.2×10 <sup>-6</sup> 4; B(M2)(W.u.)=0.3 +5-3 $\delta$ : -0.058 9 from nuclear orientation (1982Da23) in $\epsilon$ decay; <0.041 from $\alpha(K)\text{exp}$ =0.049 8 (weighted average of 0.046 10 from $\epsilon$ decay and 0.052 12 from ( $n,\gamma$ ) E=thermal). B(M2)(W.u.)≤1.0 (from RUL) implies $\delta$ ≤0.033, so evaluator adopts $\delta$ =-0.017 16.
243.8163	7/2 <sup>-</sup>	144.5758 & 9	40.1 10	99.2405	5/2 <sup>-</sup>	M1+E2	+0.52 +12-9	1.10 4		
		156.8977 & 10	100.0 18	86.9188	3/2 <sup>-</sup>	E2		0.616		
264.2538	9/2 <sup>-</sup>	20.44 2	0.42 7	243.8163	7/2 <sup>-</sup>	M1		59.0		
		165.0134 & 15	100.0 19	99.2405	5/2 <sup>-</sup>	E2		0.517		
269.6554	13/2 <sup>+</sup>	108.0053 & 25	100 17	161.6505	11/2 <sup>+</sup>	M1+E2	-1.0 +6-4	2.55 12		Other $\delta$ : -0.32 12 (from <sup>167</sup> Er( $\alpha,2n\gamma$ )).
		198.771 & 5	52 8	70.8815	9/2 <sup>+</sup>	[E2]		0.274		$I_\gamma$ : from ( $n,\gamma$ ) E=thermal. Others: 51 11 ( $\epsilon$ decay), 139 from ( $\alpha,2n\gamma$ ).
278.5983	7/2 <sup>-</sup>	14.22 4		264.2538	9/2 <sup>-</sup>				<17	$I_\gamma$ : <0.1 from $I(\gamma+ce)$ limit and $\alpha(\text{theory}=173$ for M1, 3.06×10 <sup>4</sup> for E2).
		34.79 4	<1.57	243.8163	7/2 <sup>-</sup>	M1+E2	≈0.022	≈12.36	<21	$I_\gamma$ : from $I(\gamma+ce)$ and $\alpha$ in $\epsilon$ decay.
		87.3836 & 10	100.0 18	191.2142	5/2 <sup>-</sup>	M1+E2	-0.23 2	5.00		



Adopted Levels, Gammas (continued)

$\gamma(^{169}\text{Yb})$  (continued)

$E_i(\text{level})$	$J_i^\pi$	$E_\gamma^\dagger$	$I_\gamma^\ddagger$	$E_f$	$J_f^\pi$	Mult. $^\ddagger$	$\delta^\ddagger$	$\alpha^e$	Comments
278.5983	7/2 <sup>-</sup>	179.356 & 4 207.713 & 3 278.595 & 5	1.39 17 17.5 6 5.3 4	99.2405 70.8815 0.0	5/2 <sup>-</sup> 9/2 <sup>+</sup> 7/2 <sup>+</sup>	E1(+M2) (E1)	-0.09 +14-16	0.07 11 0.0239	Other I $\gamma$ : 13.0 17 in (n, $\gamma$ ) E=thermal. Other I $\gamma$ : 4.1 5 in (n, $\gamma$ ) E=thermal.
389.5279	9/2 <sup>-</sup>	110.9291 & 10 198.3136 & 17	100.0 24 43.9 15	278.5983 191.2142	7/2 <sup>-</sup> 5/2 <sup>-</sup>	M1+E2 E2	-0.17 +7-8	2.50 0.276	Other $\delta$ : -0.11 +16-25 from ( $\alpha$ ,2n $\gamma$ ). Other I $\gamma$ : 31 4 in (n, $\gamma$ ) E=thermal, 21 4 in ( $\alpha$ ,2n $\gamma$ ).
		227.878 & 3 318.646 & 15	10.9 <sup>d</sup> 12 5.13 24	161.6505 70.8815	11/2 <sup>+</sup> 9/2 <sup>+</sup>	[E1] (E1)		0.0396 0.01720	Other I $\gamma$ : 4.4 6 in (n, $\gamma$ ) E=thermal.
405.04	15/2 <sup>+</sup>	389.53 & 3 135.3 <sup>a</sup> 5 243.4 @ 3	8.4 4 50 <sup>a</sup> 5 100 <sup>a</sup> 10	0.0 269.6554 161.6505	7/2 <sup>+</sup> 13/2 <sup>+</sup> 11/2 <sup>+</sup>	(E1) (M1+E2) <sup>a</sup> (E2)	-0.32 <sup>a</sup> 8	1.39 3 0.1415	Mult.: Q intraband transition from ( <sup>48</sup> Ca,3n $\gamma$ ).
486.937	(11/2 <sup>-</sup> )	208.336 & 15 222.694 & 6	7.4 <sup>c</sup> 12 18.5 21	278.5983 264.2538	7/2 <sup>-</sup> 9/2 <sup>-</sup>				I $\gamma$ : weighted average from ( $\alpha$ ,2n $\gamma$ ) and (n, $\gamma$ ) E=thermal. I $\gamma$ : weighted average from ( $\alpha$ ,2n $\gamma$ ) and (n, $\gamma$ ) E=thermal.
		243.127 & 3	100 8	243.8163	7/2 <sup>-</sup>	(E2)		0.1420	
512.029	(13/2 <sup>-</sup> )	247.766 15	100	264.2538	9/2 <sup>-</sup>	E2 <sup>a</sup>		0.1337	
523.085	11/2 <sup>-</sup>	133.542 & 4 244.474 & 5	100.0 26 82 8	389.5279 278.5983	9/2 <sup>-</sup> 7/2 <sup>-</sup>	M1+E2 (E2)	-0.20 +10-12	1.46 3 0.1395	I $\gamma$ : weighted average from ( $\alpha$ ,2n $\gamma$ ), $\epsilon$ decay and (n, $\gamma$ ) E=thermal. I $\gamma$ : weighted average from ( $\alpha$ ,2n $\gamma$ ), $\epsilon$ decay and (n, $\gamma$ ) E=thermal.
547.14	17/2 <sup>+</sup>	141.9 <sup>a</sup> 5 277.5 @ 3	29 <sup>a</sup> 3 100 <sup>a</sup> 10	405.04 269.6554	15/2 <sup>+</sup> 13/2 <sup>+</sup>	(M1+E2) <sup>a</sup> (E2) <sup>a</sup>	-0.23 <sup>a</sup> 9	1.23 3 0.0938	
569.834	5/2 <sup>-</sup>	291.233 & 3 325.987 & 12 378.624 & 5 470.557 <sup>h</sup> & 17	21.0 <sup>d</sup> 8 0.69 <sup>c</sup> 8 100.0 25 5.1 <sup>hd</sup> 4	278.5983 243.8163 191.2142 99.2405	7/2 <sup>-</sup> 7/2 <sup>-</sup> 5/2 <sup>-</sup> 5/2 <sup>-</sup>	M1+E2 M1(+E2) M1	-0.10 9 -0.04 6	0.170 4 0.0845 13	
		482.894 & 12 569.81 & 3	7.1 <sup>d</sup> 4 7.0 <sup>d</sup> 4	86.9188 0.0	3/2 <sup>-</sup> 7/2 <sup>+</sup>	M1 [E1]		0.0448 0.00457	
590.689	(5/2 <sup>+</sup> )	312.082 <sup>g</sup> & 15 503.88 & 10 519.788 <sup>h</sup> & 15	<0.13 <sup>gc</sup> 0.42 <sup>c</sup> 11 2.7 <sup>h</sup> 3	278.5983 86.9188 70.8815	7/2 <sup>-</sup> 3/2 <sup>-</sup> 9/2 <sup>+</sup>	[E2]		0.01617	$\alpha$ (K)exp exceeds $\alpha$ (K)(M1) in (n, $\gamma$ ) E=thermal, inconsistent with level scheme.
		590.701 & 12	100 13	0.0	7/2 <sup>+</sup>	M1+E2	+0.34 +8-7	0.0252 8	
647.276	7/2 <sup>+</sup>	485.69 & 4	2.2 <sup>c</sup> 4	161.6505	11/2 <sup>+</sup>				

**Adopted Levels, Gammas (continued)**

γ(<sup>169</sup>Yb) (continued)

<u>E<sub>i</sub>(level)</u>	<u>J<sub>i</sub><sup>π</sup></u>	<u>E<sub>γ</sub><sup>†</sup></u>	<u>I<sub>γ</sub><sup>‡</sup></u>	<u>E<sub>f</sub></u>	<u>J<sub>f</sub><sup>π</sup></u>	<u>Mult.<sup>†</sup></u>	<u>δ<sup>†</sup></u>	<u>α<sup>e</sup></u>	<u>Comments</u>
647.276	7/2 <sup>+</sup>	576.396 & 12	100 <sup>d</sup> 7	70.8815	9/2 <sup>+</sup>	M1+E2	+0.09 4	0.0283 5	
		647.272 & 17	43 <sup>d</sup> 5	0.0	7/2 <sup>+</sup>	M1+E2	+0.5 +6-4	0.019 4	
647.836	7/2 <sup>-</sup>	258.311 & 3	40.4 <sup>d</sup> 16	389.5279	9/2 <sup>-</sup>	M1+E2	+1.6 +33-7	0.15 4	
		369.232 & 5	100.0 <sup>d</sup> 25	278.5983	7/2 <sup>-</sup>	M1+E2	-0.02 5	0.0904	
		383.595 & 15	9.5 <sup>d</sup> 10	264.2538	9/2 <sup>-</sup>				
		403.957 & 25	14.8 <sup>d</sup> 9	243.8163	7/2 <sup>-</sup>	(M1)		0.0714	
		456.638 & 9	85 <sup>d</sup> 4	191.2142	5/2 <sup>-</sup>	M1(+E2)	-0.09 9	0.0516 10	
		548.546 & 25	42 <sup>d</sup> 3	99.2405	5/2 <sup>-</sup>	M1+E2	+0.53 +13-10	0.0283 16	
		560.73 7	11.7 8	86.9188	3/2 <sup>-</sup>	(E2)		0.01342	E <sub>γ</sub> : for doublet dominated by this transition. I <sub>γ</sub> : divided intensity from ε decay (34.06 h). Mult.,δ: M1+E2, δ=1.1 3 from α(K)exp in ε decay for doublet dominated by this transition; other component is known from (n,γ) to have α(K)exp>α(K)(M1) so mult=E2(+M1) is likely for this transition. An M1 component is inconsistent with level scheme.
659.630	3/2 <sup>-</sup>	89.809 & i 15	0.16 4	569.834	5/2 <sup>-</sup>				
		468.434 & g 12	<16.2 <sup>g</sup> c	191.2142	5/2 <sup>-</sup>				
		560.369 & & 15	25 <sup>c</sup> 3	99.2405	5/2 <sup>-</sup>	(M1) &		0.0305	Mult.: α(K)exp in (n,γ) E=thermal exceeds α(K)(M1).
		572.731 & 12	100 <sup>c</sup> 13	86.9188	3/2 <sup>-</sup>	M1+E2	-0.7 +4-6	0.024 5	
		635.410 & f & 15	<235 <sup>c</sup>	24.1999	1/2 <sup>-</sup>	M1		0.0222	
677.111	13/2 <sup>-</sup>	154.020 & 10	31 <sup>c</sup> 17	523.085	11/2 <sup>-</sup>	(M1+E2) <sup>a</sup>	-0.29 <sup>a</sup> +9-7	0.962 19	
		287.585 & 7	100 <sup>c</sup> 15	389.5279	9/2 <sup>-</sup>	[E2] <sup>a</sup>		0.0840	
707.054	9/2 <sup>+</sup>	183.920 & 12	0.9 <sup>c</sup> 4	523.085	11/2 <sup>-</sup>				
		436.98 & 10	7.8 <sup>c</sup> 19	269.6554	13/2 <sup>+</sup>				
		545.54 & b 2	75 <sup>d</sup> 5	161.6505	11/2 <sup>+</sup>	M1+E2	-0.12 7	0.0325 6	
		636.11 & 7	100 <sup>d</sup> 20	70.8815	9/2 <sup>+</sup>	(M1+E2)	≈0.91	≈0.01659	
719.953	3/2 <sup>+</sup>	129.221 & 10	0.035 6	590.689	(5/2) <sup>+</sup>				
		528.672 & 25	1.20 <sup>c</sup> 16	191.2142	5/2 <sup>-</sup>				
		695.53 & 10	0.85 <sup>c</sup> 14	24.1999	1/2 <sup>-</sup>				
		719.979 & 25	100	0.0	7/2 <sup>+</sup>	E2		0.00747	
722.279	5/2 <sup>-</sup>	443.659 & 25	1.51 <sup>c</sup> 24	278.5983	7/2 <sup>-</sup>				
		478.449 & 10	13.5 <sup>c</sup> 20	243.8163	7/2 <sup>-</sup>	M1 &		0.0459	
		531.04 & 3	2.03 <sup>c</sup> 24	191.2142	5/2 <sup>-</sup>				

## Adopted Levels, Gammas (continued)

$E_i(\text{level})$	$J_i^\pi$	$\gamma(^{169}\text{Yb})$ (continued)							Comments
		$E_\gamma^\dagger$	$I_\gamma^\ddagger$	$E_f$	$J_f^\pi$	Mult. <sup>†</sup>	$\delta^\ddagger$	$\alpha^e$	
722.279	5/2 <sup>-</sup>	623.026 <sup>&amp;</sup> 15	100 <sup>c</sup> 13	99.2405	5/2 <sup>-</sup>	M1(+E2)		0.017 7	
		635.410 <sup>f&amp;</sup> 15	<183	86.9188	3/2 <sup>-</sup>	M1		0.0222	
736.2	19/2 <sup>+</sup>	189.1 <sup>a</sup> 5	32 <sup>a</sup> 3	547.14	17/2 <sup>+</sup>	M1+E2 <sup>a</sup>	-0.32 <sup>a</sup> 8	0.535 14	
		331.2 <sup>@</sup> 3	100 <sup>a</sup> 10	405.04	15/2 <sup>+</sup>	E2 <sup>a</sup>		0.0551	
749.026	(9/2) <sup>-</sup>	179.116 <sup>&amp;</sup> 12	2.9 <sup>c</sup> 11	569.834	5/2 <sup>-</sup>				
		225.901 <sup>&amp;</sup> 6	16 8	523.085	11/2 <sup>-</sup>				$I_\gamma$ : from $\varepsilon$ decay. I(471 $\gamma$ ):I(225 $\gamma$ )=100 43:11.6 11 in (n, $\gamma$ ) E=thermal.
		262.164 <sup>&amp;</sup> 8	8 <sup>c</sup> 3	486.937	(11/2 <sup>-</sup> )				
		359.38 7	38.0 21	389.5279	9/2 <sup>-</sup>	(M1+E2)	1.5 +15-6	0.060 14	
		470.557 <sup>h&amp;</sup> 17	100 <sup>h</sup> 14	278.5983	7/2 <sup>-</sup>	M1		0.0479	
		484.65 4	37.4 16	264.2538	9/2 <sup>-</sup>	(M1)		0.0444	Transition not seen in <sup>168</sup> Yb(n, $\gamma$ ) E=thermal, but would be expected, if placement in <sup>169</sup> Lu $\varepsilon$ decay (34.06 h) were correct.
		505.10 17	32 5	243.8163	7/2 <sup>-</sup>	M1		0.0399	
		587.29 <sup>&amp;</sup> 20	43 <sup>c</sup> 19	161.6505	11/2 <sup>+</sup>				
		649.72 12	12.8 16	99.2405	5/2 <sup>-</sup>				$E_\gamma$ : not observed in (n, $\gamma$ ) E=thermal.
757.871	(11/2 <sup>+</sup> )	488.22 <sup>&amp;</sup> 2	63 <sup>c</sup> 8	269.6554	13/2 <sup>+</sup>				
		596.15 <sup>&amp;</sup> 6	100 <sup>c</sup> 22	161.6505	11/2 <sup>+</sup>				
761.846	(5/2) <sup>+</sup>	171.156 <sup>&amp;</sup> 7	0.13 <sup>c</sup> 3	590.689	(5/2) <sup>+</sup>				
		518.07 <sup>g&amp;</sup> 7	<1.8 <sup>g</sup>	243.8163	7/2 <sup>-</sup>				
		690.943 <sup>&amp;</sup> 20	93 <sup>c</sup> 12	70.8815	9/2 <sup>+</sup>	(E2)		0.00820	
		761.864 <sup>&amp;</sup> 25	100 <sup>c</sup> 13	0.0	7/2 <sup>+</sup>	M1+E2	0.8 2	0.0111 10	
807.074	(7/2) <sup>-</sup>	417.50 <sup>g&amp;</sup> 11	<4.1 <sup>g</sup>	389.5279	9/2 <sup>-</sup>				
		542.82 <sup>&amp;</sup> 2	18.1 23	264.2538	9/2 <sup>-</sup>	(M1)		0.0331	Other $I_\gamma$ : 52 8 from (n, $\gamma$ ) E=thermal. Source of discrepancy unknown.
		563.243 <sup>&amp;</sup> 15	100 6	243.8163	7/2 <sup>-</sup>	(E2)		0.01326	
		616.14 <sup>&amp;</sup> 12	8.1 <sup>c</sup> 17	191.2142	5/2 <sup>-</sup>				
		707.78 <sup>&amp;</sup> 3	87 5	99.2405	5/2 <sup>-</sup>	M1+E2	+0.30 13	0.0161 7	Other $I_\gamma$ : 168 21 from (n, $\gamma$ ) E=thermal. Source of discrepancy unknown.
807.6	(15/2 <sup>-</sup> )	320.7 <sup>a</sup> 5	100	486.937	(11/2 <sup>-</sup> )	[E2]		0.0606	
813.337	(1/2) <sup>-</sup>	153.732 <sup>&amp;</sup> 12	0.09 <sup>c</sup> 6	659.630	3/2 <sup>-</sup>				
		622.092 <sup>&amp;</sup> 15	82 <sup>c</sup> 11	191.2142	5/2 <sup>-</sup>				
		726.417 25	100 <sup>c</sup> 13	86.9188	3/2 <sup>-</sup>	M1+E2		0.012 5	
831.936	(7/2) <sup>+</sup>	111.961 <sup>&amp;</sup> 9	0.42 <sup>c</sup> 7	719.953	3/2 <sup>+</sup>				
		640.51 <sup>&amp;</sup> 10	4.7 <sup>c</sup> 13	191.2142	5/2 <sup>-</sup>				

Adopted Levels, Gammas (continued)

$\gamma(^{169}\text{Yb})$  (continued)

$E_i(\text{level})$	$J_i^\pi$	$E_\gamma^\dagger$	$I_\gamma^\ddagger$	$E_f$	$J_f^\pi$	Mult. $^\ddagger$	$\delta^\ddagger$	$\alpha^e$
831.936	(7/2) <sup>+</sup>	670.39 <sup>3</sup>	46 <sup>c</sup> <sup>5</sup>	161.6505	11/2 <sup>+</sup>	E2		0.00878
		760.95 & <sup>4</sup>	100 <sup>c</sup> <sup>14</sup>	70.8815	9/2 <sup>+</sup>	M1+E2	0.8 <sup>3</sup>	0.0112 <sup>15</sup>
		831.72 & <sup>7</sup>	27 <sup>c</sup> <sup>4</sup>	0.0	7/2 <sup>+</sup>	(M1)		0.01129
833.8	(17/2) <sup>-</sup>	321.8 @ <sup>3</sup>	100	512.029	(13/2) <sup>-</sup>	(E2) <sup>a</sup>		0.0600
851.394	3/2 <sup>-</sup>	607.67 & <sup>5</sup>	5.0 <sup>c</sup> <sup>7</sup>	243.8163	7/2 <sup>-</sup>			
		660.193 <sup>f</sup> <sup>17</sup>	<79 <sup>c</sup>	191.2142	5/2 <sup>-</sup>	M1+E2		0.015 <sup>6</sup>
		752.19 & <sup>5</sup>	15.3 <sup>c</sup> <sup>18</sup>	99.2405	5/2 <sup>-</sup>			
		764.46 & <sup>4</sup>	32 <sup>c</sup> <sup>4</sup>	86.9188	3/2 <sup>-</sup>			
		827.15 & <sup>3</sup>	100 <sup>c</sup> <sup>14</sup>	24.1999	1/2 <sup>-</sup>	M1 &		0.01144
851.5	15/2 <sup>-</sup>	174.5 <sup>a</sup> <sup>5</sup>	33 <sup>a</sup> <sup>7</sup>	677.111	13/2 <sup>-</sup>	(M1+E2) <sup>a</sup>	-0.6 <sup>a</sup> +5-3	0.62 <sup>7</sup>
		328.4 <sup>a</sup> <sup>5</sup>	100 <sup>a</sup> <sup>20</sup>	523.085	11/2 <sup>-</sup>	(E2) <sup>a</sup>		0.0565
865.170	(11/2) <sup>-</sup>	217.321 & <sup>15</sup>	43 <sup>c</sup> <sup>11</sup>	647.836	7/2 <sup>-</sup>			
		342.32 & <sup>5</sup>	100 <sup>c</sup> <sup>26</sup>	523.085	11/2 <sup>-</sup>			
		353.04 & <sup>5</sup>	71 <sup>c</sup> <sup>16</sup>	512.029	(13/2) <sup>-</sup>			
886.81	9/2 <sup>+</sup>	725.07 <sup>7</sup>	100 <sup>5</sup>	161.6505	11/2 <sup>+</sup>	M1+E2	1.1 <sup>3</sup>	0.0112 <sup>14</sup>
		815.95 <sup>4</sup>	65 <sup>3</sup>	70.8815	9/2 <sup>+</sup>	M1+E2	-0.80 +17-24	0.0094 <sup>8</sup>
903.2	21/2 <sup>+</sup>	166.8 <sup>a</sup> <sup>5</sup>	16 <sup>a</sup> <sup>3</sup>	736.2	19/2 <sup>+</sup>	(M1+E2) <sup>a</sup>	-0.14 <sup>a</sup> <sup>8</sup>	0.784 <sup>15</sup>
		356.0 @ <sup>3</sup>	100 <sup>a</sup> <sup>11</sup>	547.14	17/2 <sup>+</sup>	(E2) <sup>a</sup>		0.0447
911.640	(5/2) <sup>-</sup>	149.790 & <sup>20</sup>	0.52 <sup>c</sup> <sup>13</sup>	761.846	(5/2) <sup>+</sup>			
		522.112 & <sup>17</sup>	26 <sup>c</sup> <sup>3</sup>	389.5279	9/2 <sup>-</sup>			
		633.071 & <sup>20</sup>	100 <sup>c</sup> <sup>13</sup>	278.5983	7/2 <sup>-</sup>			
		667.872 & <sup>25</sup>	92 <sup>c</sup> <sup>10</sup>	243.8163	7/2 <sup>-</sup>	M1 &		0.0196
		812.41 & <sup>8</sup>	35 <sup>c</sup> <sup>6</sup>	99.2405	5/2 <sup>-</sup>			
		824.68 & <sup>6</sup>	58 <sup>c</sup> <sup>8</sup>	86.9188	3/2 <sup>-</sup>	(M1)		0.01153
919.806	(9/2) <sup>-</sup>	170.731 & <sup>20</sup>	2.5 <sup>c</sup> <sup>6</sup>	749.026	(9/2) <sup>-</sup>			
		197.508 & <sup>30</sup>	5.2 <sup>c</sup> <sup>6</sup>	722.279	5/2 <sup>-</sup>			
		212.783 & <sup>10</sup>	<8.4 <sup>c</sup>	707.054	9/2 <sup>+</sup>			
		432.75 & <sup>3</sup>	26 <sup>c</sup> <sup>3</sup>	486.937	(11/2) <sup>-</sup>			
		530.34 & <sup>8</sup>	37 <sup>d</sup> <sup>10</sup>	389.5279	9/2 <sup>-</sup>			
		655.41 & <sup>6</sup>	100 <sup>d</sup> <sup>11</sup>	264.2538	9/2 <sup>-</sup>	(M1)		0.0205
		675.90 <sup>11</sup>	46 <sup>d</sup> <sup>5</sup>	243.8163	7/2 <sup>-</sup>	M1		0.0190
		920.2 & <sup>10</sup>		0.0	7/2 <sup>+</sup>			
929.12	11/2 <sup>-</sup>	406.03 <sup>f</sup> <sup>7</sup>	<13.5	523.085	11/2 <sup>-</sup>			
		539.37 <sup>15</sup>	27 <sup>4</sup>	389.5279	9/2 <sup>-</sup>			

Adopted Levels, Gammas (continued)

γ(<sup>169</sup>Yb) (continued)

<u>E<sub>i</sub>(level)</u>	<u>J<sub>i</sub><sup>π</sup></u>	<u>E<sub>γ</sub><sup>†</sup></u>	<u>I<sub>γ</sub><sup>‡</sup></u>	<u>E<sub>f</sub></u>	<u>J<sub>f</sub><sup>π</sup></u>	<u>Mult.<sup>†</sup></u>	<u>δ<sup>†</sup></u>	<u>α<sup>e</sup></u>	<u>Comments</u>
929.12	11/2 <sup>-</sup>	659.10 <sup>i</sup> 6 664.69 <sup>g</sup> 8	<39 <sup>g</sup>	269.6554 264.2538	13/2 <sup>+</sup> 9/2 <sup>-</sup>	(E1) [E2(+M1)]		0.00337 0.014 6	Mult.: E2(+M1) for doubly-placed γ in ε decay.
946.487?		767.55 4 239.464 <sup>g&amp;</sup> 15 423.376 <sup>g&amp;</sup> 17	100 8 6.9 <sup>g</sup> 11 66 <sup>g</sup> 8	161.6505 707.054 523.085	11/2 <sup>+</sup> 9/2 <sup>+</sup> 11/2 <sup>-</sup>	E1+M2	-0.17 +12-10	0.0035 14	
960.594	7/2 <sup>-</sup>	784.88 <sup>g&amp;</sup> 15 682.12 28 889.753 21 960.622 20	100 <sup>g</sup> 20 0.09 4 22.9 6 100 2	161.6505 278.5983 70.8815 0.0	11/2 <sup>+</sup> 7/2 <sup>-</sup> 9/2 <sup>+</sup> 7/2 <sup>+</sup>	E1 E1		0.00186 1.61×10 <sup>-3</sup>	
996.69	(7/2) <sup>-</sup>	348.77 <sup>&amp;i</sup> 5 805.47 <sup>f&amp;i</sup> 25 897.45 <sup>&amp;</sup> 6	0.92 <sup>c</sup> 25 <8.3 <sup>c</sup> 100 <sup>c</sup> 14	647.836 191.2142 99.2405	7/2 <sup>-</sup> 5/2 <sup>-</sup> 5/2 <sup>-</sup>	M1 <sup>&amp;</sup>		0.00935	
1033.897	(1/2 <sup>+</sup> ,3/2)	272.053 <sup>&amp;</sup> 10 311.619 <sup>&amp;</sup> 5 313.940 <sup>&amp;</sup> 5 374.266 <sup>&amp;</sup> 7 934.87 <sup>&amp;</sup> 20 947.37 <sup>&amp;</sup> 15 1009.64 <sup>&amp;</sup> 6	1.22 <sup>c</sup> 22 4.2 <sup>c</sup> 5 6.8 <sup>c</sup> 8 10.0 <sup>c</sup> 12 12.9 <sup>c</sup> 22 23 <sup>c</sup> 3 100 <sup>c</sup> 14	761.846 722.279 719.953 659.630 99.2405 86.9188 24.1999	(5/2) <sup>+</sup> 5/2 <sup>-</sup> 3/2 <sup>+</sup> 3/2 <sup>-</sup> 5/2 <sup>-</sup> 3/2 <sup>-</sup> 1/2 <sup>-</sup>				
1042.6	(17/2) <sup>-</sup>	191.0 <sup>ai</sup> 5 365.5 <sup>a</sup> 5	100 <sup>a</sup> 21	851.5 677.111	15/2 <sup>-</sup> 13/2 <sup>-</sup>	(E2) <sup>a</sup>		0.0415	E <sub>γ</sub> : for multiply-placed γ.
1061.101	(11/2) <sup>-</sup>	254.01 <sup>&amp;</sup> 4 312.082 <sup>g&amp;</sup> 15 574.10 <sup>&amp;</sup> 8 781.77 <sup>&amp;</sup> 25 796.36 <sup>&amp;</sup> 25	6.0 <sup>c</sup> 11 <11 <sup>g</sup> 8 56 <sup>c</sup> 21 63 <sup>c</sup> 13 100 <sup>c</sup> 20	807.074 749.026 486.937 278.5983 264.2538	(7/2) <sup>-</sup> (9/2) <sup>-</sup> (11/2) <sup>-</sup> 7/2 <sup>-</sup> 9/2 <sup>-</sup>				
1064.760	(5/2 <sup>+</sup> ,7/2,9/2 <sup>+</sup> )	357.686 <sup>&amp;</sup> 9 417.50 <sup>g&amp;</sup> 11 474.28 <sup>&amp;</sup> 6 1064.7 <sup>g&amp;</sup> 4	14 <sup>c</sup> 3 <18 <sup>g</sup> 8 11.7 <sup>c</sup> 22 100 <sup>g</sup> 22	707.054 647.276 590.689 0.0	9/2 <sup>+</sup> 7/2 <sup>+</sup> (5/2) <sup>+</sup> 7/2 <sup>+</sup>				
1070.665	7/2 <sup>+</sup>	423.376 <sup>g&amp;</sup> 17  480.08 <sup>&amp;</sup> 4	<7.5 <sup>g</sup>  38 4	647.276  590.689	7/2 <sup>+</sup>  (5/2) <sup>+</sup>	M1  (M1)		0.0631  0.0455	Other I <sub>γ</sub> : 46 5 from (n,γ) E=thermal; this suggests transition may Be complex there.

**Adopted Levels, Gammas (continued)**

$\gamma(^{169}\text{Yb})$  (continued)

$E_i(\text{level})$	$J_i^\pi$	$E_\gamma^\dagger$	$I_\gamma^\ddagger$	$E_f$	$J_f^\pi$	Mult. <sup>†</sup>	$\delta^\ddagger$	$\alpha^e$	Comments
1070.665	7/2 <sup>+</sup>	908.64 7 999.96 7 1070.81 7	29 4 100 6 95 4	161.6505 70.8815 0.0	11/2 <sup>+</sup> 9/2 <sup>+</sup> 7/2 <sup>+</sup>	M1+E2 E0+M1+E2	+1.3 6	0.0050 11 0.046 15	Mult., $\alpha$ : $\delta(M1,E2)=-0.74 +11-13$ or $+10 +50-5$ and $q(E0/E2)=5.8 +8-7$ or $3.57 14$ from $\varepsilon$ decay.
1078.338	9/2 <sup>-</sup>	814.02 <sup>&amp;</sup> 20 916.710 29 1007.465 32 1078.28 4	48.1 14 100.0 25 59.4 23	264.2538 161.6505 70.8815 0.0	9/2 <sup>-</sup> 11/2 <sup>+</sup> 9/2 <sup>+</sup> 7/2 <sup>+</sup>	E1(+M2) E1+M2 E1(+M2)	-0.010 27 -0.08 5 -0.01 3	0.00176 4 0.00158 17 0.00131 3	
1110.706	3/2 <sup>-</sup> ,5/2 <sup>-</sup>	297.40 <sup>&amp;</sup> 4 390.748 <sup>&amp;</sup> 8 451.15 <sup>&amp;i</sup> 11 1023.72 <sup>&amp;</sup> 7 1086.35 <sup>&amp;</sup> 10	0.64 <sup>c</sup> 12 10.4 <sup>c</sup> 13 1.4 <sup>c</sup> 4 100 <sup>c</sup> 14 90 <sup>c</sup> 13	813.337 719.953 659.630 86.9188 24.1999	(1/2) <sup>-</sup> 3/2 <sup>+</sup> 3/2 <sup>-</sup> 3/2 <sup>-</sup> 1/2 <sup>-</sup>				
1141.26	(9/2) <sup>+</sup>	871.51 <sup>&amp;</sup> 25 979.74 <sup>&amp;</sup> 12 1140.78 <sup>&amp;</sup> 25	38 <sup>c</sup> 13 100 <sup>c</sup> 15 78 <sup>c</sup> 45	269.6554 161.6505 0.0	13/2 <sup>+</sup> 11/2 <sup>+</sup> 7/2 <sup>+</sup>	E2(+M1)		0.0057 19	
1157.0	23/2 <sup>+</sup>	253.3 <sup>a</sup> 5 421.0 <sup>@</sup> 3	24 <sup>a</sup> 5 100 <sup>a</sup> 10	903.2 736.2	21/2 <sup>+</sup> 19/2 <sup>+</sup>	(M1+E2) <sup>a</sup> (E2) <sup>a</sup>	-0.33 <sup>a</sup> 9	0.237 8 0.0280	
1159.88	(5/2 <sup>+</sup> )	512.03 <sup>&amp;</sup> 5 590.04 <sup>&amp;</sup> 6 968.77 <sup>&amp;</sup> 17 1088.9 <sup>&amp;i</sup> 4	59 <sup>c</sup> 12 62 <sup>c</sup> 11 57 <sup>c</sup> 9 100 <sup>c</sup> 24	647.836 569.834 191.2142 70.8815	7/2 <sup>-</sup> 5/2 <sup>-</sup> 5/2 <sup>-</sup> 9/2 <sup>+</sup>				
1167.629	(7/2,9/2) <sup>-</sup>	247.2 3 519.788 <sup>h&amp;</sup> 15 903.42 23 1068.54 8	18 6 15.4 <sup>h</sup> 22 13 5 100 6	919.806 647.836 264.2538 99.2405	(9/2) <sup>-</sup> 7/2 <sup>-</sup> 9/2 <sup>-</sup> 5/2 <sup>-</sup>	M1+E2 (E2)	1.0 +28-8	0.20 6 0.01617	
1176.652	(7/2,9/2) <sup>+</sup>	230.193 <sup>&amp;</sup> 25 418.76 <sup>g&amp;</sup> 5 469.50 <sup>&amp;</sup> 2 585.983 <sup>&amp;</sup> 25 1015.4 4 1106.11 6	1.5 <sup>c</sup> 3 <9 <sup>g</sup> <sup>c</sup> 26 <sup>c</sup> 4 77 <sup>c</sup> 10  <127 <sup>c</sup>	946.487? 757.871 707.054 590.689 161.6505 70.8815	(11/2) <sup>+</sup> 9/2 <sup>+</sup> 9/2 <sup>+</sup> (5/2) <sup>+</sup> 11/2 <sup>+</sup> 9/2 <sup>+</sup>				$E_\gamma$ : seen only in ce spectrum in $\varepsilon$ decay. $E_\gamma$ : 1105.5 3 for doublet in (n, $\gamma$ ) E=thermal.
1198.7	(19/2) <sup>-</sup>	1177.1 <sup>&amp;</sup> 4 391.1 <sup>a</sup> 5	100 <sup>c</sup> 18 100	0.0 807.6	7/2 <sup>+</sup> (15/2) <sup>-</sup>	(E2) <sup>a</sup>		0.0043 13 0.0343	$E_\gamma$ : 1177.7 4 for doublet in $\varepsilon$ decay.

Adopted Levels, Gammas (continued)

$\gamma(^{169}\text{Yb})$  (continued)

$E_i(\text{level})$	$J_i^\pi$	$E_\gamma^\dagger$	$I_\gamma^\ddagger$	$E_f$	$J_f^\pi$	Mult. <sup>†</sup>	$\delta^\dagger$	$\alpha^e$	Comments
1202.256	(5/2 <sup>+</sup> )	137.487 <sup>&amp;</sup> 8	1.9 <sup>c</sup> 3	1064.760	(5/2 <sup>+</sup> , 7/2, 9/2 <sup>+</sup> )				
		350.99 <sup>&amp;</sup> 10	5.3 <sup>c</sup> 9	851.394	3/2 <sup>-</sup>				
		554.44 <sup>&amp;</sup> 17	6.9 <sup>c</sup> 28	647.836	7/2 <sup>-</sup>				
		611.626 <sup>g&amp;</sup> 17	<179 <sup>g</sup> 8 <sup>c</sup>	590.689	(5/2) <sup>+</sup>				
		632.38 <sup>g&amp;</sup> 7	<44 <sup>g</sup> 8 <sup>c</sup>	569.834	5/2 <sup>-</sup>				
		1115.1 <sup>&amp;</sup> 4	59 <sup>c</sup> 14	86.9188	3/2 <sup>-</sup>				
		1131.29 <sup>&amp;</sup> 17	100 <sup>c</sup> 45	70.8815	9/2 <sup>+</sup>				
1204.55		613.9 3	100 53	590.689	(5/2) <sup>+</sup>				
		1117.61 20	87 27	86.9188	3/2 <sup>-</sup>				
1218.0	(21/2 <sup>-</sup> )	384.2 <sup>@</sup> 4	100	833.8	(17/2 <sup>-</sup> )	[E2] <sup>a</sup>		0.0360	
1225.42	1/2, 3/2, 5/2 <sup>+</sup>	634.73 <sup>g</sup> 8	100 <sup>g</sup>	590.689	(5/2) <sup>+</sup>				
1232.220	(3/2 <sup>-</sup> )	271.70 3	7.0 10	960.594	7/2 <sup>-</sup>				
		418.76 <sup>g&amp;</sup> 5	<32 <sup>g</sup> 8 <sup>c</sup>	813.337	(1/2) <sup>-</sup>				
		509.88 <sup>&amp;</sup> 6	100 <sup>c</sup> 25	722.279	5/2 <sup>-</sup>				
1250.5?	(19/2 <sup>-</sup> )	207.4 <sup>ai</sup> 5	63 <sup>a</sup> 14	1042.6	(17/2 <sup>-</sup> )				
		399.4 <sup>ai</sup> 5	100 <sup>a</sup> 20	851.5	15/2 <sup>-</sup>				
1261.890	(5/2, 7/2 <sup>-</sup> )	454.65 <sup>&amp;</sup> 3	78 <sup>c</sup> 11	807.074	(7/2) <sup>-</sup>				
		539.10 <sup>&amp;</sup> 25	96 <sup>c</sup> 31	722.279	5/2 <sup>-</sup>				
		602.08 <sup>&amp;</sup> 7	100 <sup>c</sup> 17	659.630	3/2 <sup>-</sup>				
		614.5 <sup>&amp;</sup> 4	52 <sup>c</sup> 13	647.276	7/2 <sup>+</sup>				
1270.742	(1/2) <sup>-</sup>	1018.0 <sup>g&amp;</sup> 3	<234 <sup>g</sup> 8 <sup>c</sup>	243.8163	7/2 <sup>-</sup>				
		160.035 <sup>&amp;</sup> 4	1.0 <sup>c</sup> 3	1110.706	3/2 <sup>-</sup> , 5/2 <sup>-</sup>				
		419.39 <sup>&amp;</sup> 3	35 <sup>c</sup> 5	851.394	3/2 <sup>-</sup>	M1 <sup>&amp;</sup>		0.0647	
		457.43 <sup>&amp;</sup> 2	8.5 <sup>c</sup> 12	813.337	(1/2) <sup>-</sup>				
		1183.63 <sup>&amp;</sup> 25	100 <sup>c</sup> 21	86.9188	3/2 <sup>-</sup>	M1 <sup>&amp;</sup>		0.00475	
1246.5 <sup>&amp;</sup> 3		1246.5 <sup>&amp;</sup> 3	72 <sup>c</sup> 13	24.1999	1/2 <sup>-</sup>				Large $\alpha(K)$ exp suggests probable E0 component.
1283.275	(7/2, 9/2) <sup>-</sup>	476.38 15	1.4 3	807.074	(7/2) <sup>-</sup>				
		1212.52 8	22.7 18	70.8815	9/2 <sup>+</sup>	E1+M2	-0.02 7	0.00109 8	
		1283.28 4	100 4	0.0	7/2 <sup>+</sup>	E1+M2	-0.01 +6-5	0.00101 4	
1285.126	(3/2 <sup>+</sup> , 5/2, 7/2 <sup>+</sup> )	174.420 <sup>&amp;</sup> 2	1.47 <sup>c</sup> 19	1110.706	3/2 <sup>-</sup> , 5/2 <sup>-</sup>				
		453.34 <sup>&amp;</sup> 6	1.5 <sup>c</sup> 4	831.936	(7/2) <sup>+</sup>				
		565.13 <sup>&amp;</sup> 9	2.3 <sup>c</sup> 12	719.953	3/2 <sup>+</sup>				
		1284.7 <sup>&amp;</sup> 8	100 <sup>c</sup> 36	0.0	7/2 <sup>+</sup>				

Adopted Levels, Gammas (continued)

$E_i(\text{level})$	$J_i^\pi$	$\gamma(^{169}\text{Yb})$ (continued)						
		$E_\gamma^\dagger$	$I_\gamma^\ddagger$	$E_f$	$J_f^\pi$	Mult. $^\ddagger$	$\delta^\dagger$	$\alpha^e$
1296.671	(3/2 <sup>-</sup> , 5/2, 7/2 <sup>-</sup> )	185.941 & 25	0.41 <sup>c</sup> 5	1110.706	3/2 <sup>-</sup> , 5/2 <sup>-</sup>			
		262.753 & 17	0.73 <sup>c</sup> 14	1033.897	(1/2 <sup>+</sup> , 3/2)			
		445.17 & 7	1.2 <sup>c</sup> 4	851.394	3/2 <sup>-</sup>			
		1018.0 & 3	<24 <sup>g</sup> 3	278.5983	7/2 <sup>-</sup>			
		1105.5 & 3	33 <sup>g</sup> 5	191.2142	5/2 <sup>-</sup>			
		1197.8 & 7	100 <sup>c</sup> 29	99.2405	5/2 <sup>-</sup>			
		1209.8 & 3	55 <sup>c</sup> 11	86.9188	3/2 <sup>-</sup>			
1311.798	(5/2 <sup>+</sup> , 7/2)	135.130 & 15	0.60 <sup>c</sup> 13	1176.652	(7/2, 9/2) <sup>+</sup>			
		504.64 & 7	10.5 <sup>c</sup> 25	807.074	(7/2) <sup>-</sup>			
		549.90 & 10	5.0 <sup>c</sup> 10	761.846	(5/2) <sup>+</sup>			
		591.78 & 6	22 <sup>c</sup> 7	719.953	3/2 <sup>+</sup>			
		1033.72 & 25	50 <sup>c</sup> 10	278.5983	7/2 <sup>-</sup>			
		1067.64 & 20	100 <sup>c</sup> 18	243.8163	7/2 <sup>-</sup>			
1319.827	(1/2) <sup>-</sup>	468.434 & 12	<13.0 <sup>g</sup> 12	851.394	3/2 <sup>-</sup>			
		660.193 & 17	<102 <sup>c</sup>	659.630	3/2 <sup>-</sup>	M1+E2 &		0.015 6
		1232.64 & 17	100 <sup>c</sup> 13	86.9188	3/2 <sup>-</sup>	M1 &		0.00431
		1295.6 & 4	99 <sup>c</sup> 16	24.1999	1/2 <sup>-</sup>	(M1) &		0.00383
1336.2	(25/2) <sup>+</sup>	177.9 & 5	<14.2 <sup>a</sup>	1157.0	23/2 <sup>+</sup>			
		433.0 @ 5	100 <sup>a</sup> 10	903.2	21/2 <sup>+</sup>	(E2) <sup>a</sup>		0.0260
1343.62	(7/2) <sup>-</sup>	272.66 16	9 3	1070.665	7/2 <sup>+</sup>			
		432.27 7	4.1 5	911.640	(5/2) <sup>-</sup>	M1+E2	1.2 +43-7	0.040 14
		1065.09 5	69 6	278.5983	7/2 <sup>-</sup>	M1		0.00614
		1099.89 11	9.3 10	243.8163	7/2 <sup>-</sup>			
		1244.24 12	11.0 14	99.2405	5/2 <sup>-</sup>	M1		0.00422
		1272.46 6	100 5	70.8815	9/2 <sup>+</sup>			
		1343.56 13	21.6 17	0.0	7/2 <sup>+</sup>			
1350.148	(3/2 <sup>-</sup> )	239.464 & 15	<0.31 <sup>g</sup> 15	1110.706	3/2 <sup>-</sup> , 5/2 <sup>-</sup>			
		498.77 & 4	2.1 <sup>c</sup> 3	851.394	3/2 <sup>-</sup>			
		627.852 & 25	19.5 <sup>c</sup> 24	722.279	5/2 <sup>-</sup>			
		630.23 & 3	10.3 <sup>c</sup> 14	719.953	3/2 <sup>+</sup>			
		1263.08 & 20	100 <sup>c</sup> 16	86.9188	3/2 <sup>-</sup>	(M1) &		0.00407
1354.818	(3/2 <sup>-</sup> )	1325.5 & 6	44 <sup>c</sup> 9	24.1999	1/2 <sup>-</sup>	(M1) &		0.00364
		443.182 & 9	27 <sup>c</sup> 4	911.640	(5/2) <sup>-</sup>	(M1) &		0.0560
		632.38 & 7	<19 <sup>g</sup> 7	722.279	5/2 <sup>-</sup>			



**Adopted Levels, Gammas (continued)**

$\gamma(^{169}\text{Yb})$  (continued)

$E_i(\text{level})$	$J_i^\pi$	$E_\gamma^\dagger$	$I_\gamma^\ddagger$	$E_f$	$J_f^\pi$	Mult. <sup>†</sup>	$\delta^\ddagger$	$\alpha^e$	Comments
1354.818	(3/2 <sup>-</sup> )	634.73 <sup>g&amp;</sup> 8	<29 <sup>g</sup>	719.953	3/2 <sup>+</sup>				
		1163.14 <sup>&amp;</sup> 20	100 <sup>c</sup> 20	191.2142	5/2 <sup>-</sup>	(M1) <sup>&amp;</sup>		0.00495	
1395.402	(5/2 <sup>-</sup> )	284.691 <sup>&amp;</sup> 8	2.0 <sup>c</sup> 3	1110.706	3/2 <sup>-</sup> , 5/2 <sup>-</sup>				
		588.46 <sup>&amp;</sup> 4	20 <sup>c</sup> 3	807.074	(7/2) <sup>-</sup>				
		1131.29 <sup>&amp;</sup> 17	66 <sup>c</sup> 30	264.2538	9/2 <sup>-</sup>				
		1151.36 <sup>&amp;</sup> 20	100 <sup>c</sup> 16	243.8163	7/2 <sup>-</sup>				
1398.713	(3/2) <sup>-</sup>	113.569 <sup>&amp;</sup> 15	4.6 <sup>c</sup> 6	1285.126	(3/2 <sup>+</sup> , 5/2, 7/2 <sup>+</sup> )				
		547.45 <sup>&amp;i</sup> 20	2.5 6	851.394	3/2 <sup>-</sup>				
		678.67 <sup>&amp;</sup> 10	2.7 <sup>c</sup> 27	719.953	3/2 <sup>+</sup>				
		739.02 <sup>&amp;i</sup> 10	7.2 <sup>c</sup> 11	659.630	3/2 <sup>-</sup>				
		1207.5 <sup>&amp;</sup> 3	86 <sup>c</sup> 17	191.2142	5/2 <sup>-</sup>	M1 <sup>&amp;</sup>		0.00453	
		1373.6 <sup>&amp;</sup> 5	100 <sup>c</sup> 15	24.1999	1/2 <sup>-</sup>	(M1) <sup>&amp;</sup>		0.00335	
1406.34	9/2 <sup>-</sup>	657.86 30	<94	749.026	(9/2) <sup>-</sup>				
		1141.96 10	18.3 24	264.2538	9/2 <sup>-</sup>	M1		0.00518	
		1162.49 <sup>f</sup> 7	<85	243.8163	7/2 <sup>-</sup>	M1		0.00496	
		1215.28 11	47 4	191.2142	5/2 <sup>-</sup>				
		1307.20 5	50 8	99.2405	5/2 <sup>-</sup>	E2		0.00220	
		1406.23 5	100 4	0.0	7/2 <sup>+</sup>	E1+M2	+0.08 13	0.00099 24	
1420.48	(5/2 <sup>-</sup> , 7/2, 9/2 <sup>-</sup> )	1156.03 16	100 18	264.2538	9/2 <sup>-</sup>				
		1176.48 22	<340	243.8163	7/2 <sup>-</sup>				I <sub>γ</sub> : undivided I <sub>γ</sub> for doublet.
		1321.53 <sup>f</sup> 16	<164	99.2405	5/2 <sup>-</sup>				
1426.76	(7/2, 9/2) <sup>-</sup>	466.93 21	87 22	960.594	7/2 <sup>-</sup>	(E2)		0.0213	
		664.69 <sup>g</sup> 8	<248 <sup>g</sup>	761.846	(5/2) <sup>+</sup>				Mult.: E2(+M1) for doubly-placed $\gamma$ in $\varepsilon$ decay.
		857.15 24	65 35	569.834	5/2 <sup>-</sup>				
		939.7 <sup>f</sup> 5	<326	486.937	(11/2) <sup>-</sup>				
		1037.49 13	87 43	389.5279	9/2 <sup>-</sup>				
		1148.0 6	100 52	278.5983	7/2 <sup>-</sup>				
		1162.49 <sup>f</sup> 7	<366	264.2538	9/2 <sup>-</sup>	M1		0.00496	
1444.73	7/2 <sup>-</sup> , 9/2 <sup>-</sup>	796.93 7	42 9	647.836	7/2 <sup>-</sup>	E2		0.00597	
		1180.45 6	100 11	264.2538	9/2 <sup>-</sup>	M1(+E2)		0.0037 11	
		1201.0 9		243.8163	7/2 <sup>-</sup>				
1449.773	7/2 <sup>-</sup>	166.509 19	1.29 6	1283.275	(7/2, 9/2) <sup>-</sup>	M1+E2	+0.5 3	0.73 6	
		187.817 <sup>&amp;</sup> 17	0.17 <sup>c</sup> 3	1261.890	(5/2, 7/2) <sup>-</sup>				
		489.25 6	1.42 17	960.594	7/2 <sup>-</sup>	M1		0.0433	
		617.682 25	2.38 19	831.936	(7/2) <sup>+</sup>	E1		0.00386	
		642.65 8	0.57 9	807.074	(7/2) <sup>-</sup>	(M1)		0.0216	

## Adopted Levels, Gammas (continued)

$\gamma(^{169}\text{Yb})$ (continued)											
$E_i(\text{level})$	$J_i^\pi$	$E_\gamma^\dagger$	$I_\gamma^\ddagger$	$E_f$	$J_f^\pi$	Mult. $^\ddagger$	$\delta^\dagger$	$\alpha^e$	Comments		
1449.773	$7/2^-$	687.93 4	2.71 14	761.846	(5/2) <sup>+</sup>	(E1+M2)	+0.01 8	0.0031 4			
		701.04 24	0.59 12	749.026	(9/2) <sup>-</sup>						
		802.34 4	2.67 21	647.836	7/2 <sup>-</sup>						
		879.93 4	3.44 19	569.834	5/2 <sup>-</sup>	M1+E2	-0.9 4	0.0076 13			
		926.6 5	0.24 12	523.085	11/2 <sup>-</sup>						
		1060.28 4	19.2 6	389.5279	9/2 <sup>-</sup>	M1+E2	+0.036 22	0.00620			
		1171.20 4	8.1 3	278.5983	7/2 <sup>-</sup>	M1+E2	+0.22 +74-15	0.0048 10			
		1206.00 4	5.1 3	243.8163	7/2 <sup>-</sup>	M1+E2	$\geq 0.83$	0.0031 6			
		1258.59 6	3.58 9	191.2142	5/2 <sup>-</sup>	M1		0.00410			
		1350.65 9	1.95 5	99.2405	5/2 <sup>-</sup>	M1+E2	-0.19 +15-21	0.00344 16			
		1379.04 <sup>f</sup> 4		21	70.8815	9/2 <sup>+</sup>	E1		$9.54 \times 10^{-4}$		
		1449.74 4		100.0 21	0.0	7/2 <sup>+</sup>	E1(+M2)	0.00 4	$9.32 \times 10^{-4}$ 16		
		1463.024	$(7/2^-)$	177.94 <sup>&amp;</sup> 4	2.4 <sup>c</sup> 14	1285.126	(3/2 <sup>+</sup> , 5/2, 7/2 <sup>+</sup> )				
				401.87 <sup>&amp;</sup> 7	3.8 <sup>c</sup> 11	1061.101	(11/2 <sup>-</sup> )				
597.83 <sup>&amp;</sup> 7	40 <sup>c</sup> 7			865.170	(11/2 <sup>-</sup> )						
611.626 <sup>g&amp;</sup> 17	<230 <sup>g</sup> c			851.394	3/2 <sup>-</sup>						
1463.402	$7/2^-$	1218.7 <sup>&amp;</sup> 7	100 <sup>c</sup> 30	243.8163	7/2 <sup>-</sup>						
		502.8 3	6.2 10	960.594	7/2 <sup>-</sup>						
		939.7 <sup>f</sup> 5	<8	523.085	11/2 <sup>-</sup>						
		1073.79 3	51 3	389.5279	9/2 <sup>-</sup>	M1+E2	+0.18 7	0.00593 12			
		1184.88 3	100 4	278.5983	7/2 <sup>-</sup>	M1+E2	-0.15 7	0.00469 9			
		1199.10 6	10.1 8	264.2538	9/2 <sup>-</sup>	M1+E2	+0.22 +25-19	0.0045 3			
		1219.61 4	13.5 18	243.8163	7/2 <sup>-</sup>	M1+E2	-1.0 +3-9	0.0035 6			
		1463.39 4	67.9 16	0.0	7/2 <sup>+</sup>	E1(+M2)	+0.02 +11-9	0.00093 10			
1464.98	$(7/2^-)$	518.56 <sup>&amp;</sup> 8	3.5 <sup>c</sup> 6	946.487?							
		553.31 <sup>&amp;</sup> 5	4.4 <sup>c</sup> 7	911.640	(5/2) <sup>-</sup>						
		1200.9 <sup>&amp;</sup> 10	20 <sup>c</sup> 6	264.2538	9/2 <sup>-</sup>						
		1221.1 <sup>&amp;</sup> 2	100 <sup>c</sup> 15	243.8163	7/2 <sup>-</sup>	M1+E2 <sup>&amp;</sup>		0.0035 10			
1478.510	$(3/2^-, 5/2^+)$	79.793 <sup>&amp;</sup> 9	3.3 <sup>c</sup> 6	1398.713	(3/2) <sup>-</sup>						
		444.69 <sup>&amp;i</sup> 11	7.9 <sup>c</sup> 15	1033.897	(1/2 <sup>+</sup> , 3/2)						
		518.07 <sup>g</sup> 7	<15 <sup>g</sup>	960.594	7/2 <sup>-</sup>						
		756.30 <sup>&amp;</sup> 9	26 <sup>c</sup> 4	722.279	5/2 <sup>-</sup>						
		758.89 <sup>&amp;i</sup> 20	17 <sup>c</sup> 5	719.953	3/2 <sup>+</sup>						
		908.8 <sup>&amp;</sup> 4	<21 <sup>c</sup>	569.834	5/2 <sup>-</sup>						
1391.8 <sup>g&amp;</sup> 17	100 <sup>g</sup> c 52	86.9188	3/2 <sup>-</sup>								

$E_\gamma$ : for doubly-placed  $\gamma$ .  
 Undivided  $I_\gamma$  from (n, $\gamma$ )  
 E=thermal.

## Adopted Levels, Gammas (continued)

$\gamma(^{169}\text{Yb})$ (continued)									
$E_i(\text{level})$	$J_i^\pi$	$E_\gamma^\dagger$	$I_\gamma^\ddagger$	$E_f$	$J_f^\pi$	Mult. <sup>†</sup>	$\delta^\dagger$	$\alpha^e$	Comments
1524.134	1/2,3/2,5/2 <sup>+</sup>	174.017 <sup>&amp;</sup> 25	22 7	1350.148	(3/2 <sup>-</sup> )				
		459.25 <sup>&amp;</sup> 5	100 27	1064.760	(5/2 <sup>+</sup> ,7/2,9/2 <sup>+</sup> )				
1531.570	(3/2 <sup>-</sup> ,5/2 <sup>+</sup> )	181.27 <sup>&amp;</sup> 45	8 <sup>c</sup> 3	1350.148	(3/2 <sup>-</sup> )				
		234.904 <sup>&amp;</sup> 7	0.64 <sup>c</sup> 8	1296.671	(3/2 <sup>-</sup> ,5/2,7/2 <sup>-</sup> )				
		497.68 <sup>&amp;</sup> 7	1.6 <sup>c</sup> 3	1033.897	(1/2 <sup>+</sup> ,3/2)				
		571.36 <sup>&amp;</sup> 20	4.1 <sup>c</sup> 9	960.594	7/2 <sup>-</sup>				
		1432.5 <sup>&amp;</sup> 7	100 <sup>c</sup> 20	99.2405	5/2 <sup>-</sup>				
		1445.28 <sup>&amp;</sup> 17	<34 <sup>g</sup> <sup>c</sup>	86.9188	3/2 <sup>-</sup>				
1540.80	9/2 <sup>-</sup>	1017.58 5	100 7	523.085	11/2 <sup>-</sup>	M1		0.00686	
		1151.70 7	79 10	389.5279	9/2 <sup>-</sup>	M1+E2	≥0.36	0.0038 11	
		1276.62 <sup>f</sup> 23	<74	264.2538	9/2 <sup>-</sup>	M1		0.00397	
		1296.90 5	64 4	243.8163	7/2 <sup>-</sup>	M1+E2	1.0 +9-5	0.0030 5	
		1540.63 15	15 4	0.0	7/2 <sup>+</sup>				
1554.860	(1/2 <sup>-</sup> )	204.705 <sup>&amp;</sup> 25	1.2 <sup>c</sup> 3	1350.148	(3/2 <sup>-</sup> )				
		703.38 <sup>&amp;</sup> 9	75 <sup>c</sup> 10	851.394	3/2 <sup>-</sup>				
		741.54 <sup>&amp;</sup> 12	54 <sup>c</sup> 10	813.337	(1/2 <sup>-</sup> )				
		792.97 <sup>&amp;</sup> 12	29 <sup>c</sup> 5	761.846	(5/2 <sup>+</sup> )				
		834.94 <sup>&amp;</sup> 8	85 <sup>c</sup> 13	719.953	3/2 <sup>+</sup>				
		1467.3 <sup>&amp;</sup> 12	100 <sup>c</sup> 48	86.9188	3/2 <sup>-</sup>				
		1530.58 <sup>&amp;</sup> 10	<490 <sup>g</sup> <sup>c</sup>	24.1999	1/2 <sup>-</sup>				
1554.876	9/2 <sup>-</sup>	1031.91 6	11.5 6	523.085	11/2 <sup>-</sup>	M1+E2	-0.28 +19-29	0.0064 6	
		1165.21 11	14.9 10	389.5279	9/2 <sup>-</sup>	M1		0.00493	
		1276.62 <sup>f</sup> 23	<16.7	278.5983	7/2 <sup>-</sup>	M1		0.00397	
		1290.59 3	100 5	264.2538	9/2 <sup>-</sup>	M1+E2	0.9 4	0.0031 4	
		1311.13 7	5.7 10	243.8163	7/2 <sup>-</sup>	M1		0.00373	
		1363.83 9	6.1 8	191.2142	5/2 <sup>-</sup>	E2		0.00204	
		1483.97 <sup>i</sup> 9	17.6 12	70.8815	9/2 <sup>+</sup>	[E1]		9.25×10 <sup>-4</sup>	Note that $\alpha(\text{K})_{\text{exp}}$ in $\varepsilon$ decay favors mult=E2, inconsistent with this placement.
1565.62	(7/2 <sup>-</sup> )	1554.4 <sup>f</sup> 5	<11.7	0.0	7/2 <sup>+</sup>				
		1301.33 5	73 4	264.2538	9/2 <sup>-</sup>	(M1)		0.00380	
		1321.53 <sup>f</sup> 16	<40	243.8163	7/2 <sup>-</sup>				
1585.876	(1/2 <sup>-</sup> )	1374.53 8	100 4	191.2142	5/2 <sup>-</sup>	(M1)		0.00335	
		187.159 <sup>&amp;</sup> 9	3.9 <sup>c</sup> 6	1398.713	(3/2 <sup>-</sup> )				

Adopted Levels, Gammas (continued)

γ(<sup>169</sup>Yb) (continued)

<u>E<sub>i</sub>(level)</u>	<u>J<sub>i</sub><sup>π</sup></u>	<u>E<sub>γ</sub><sup>†</sup></u>	<u>I<sub>γ</sub><sup>‡</sup></u>	<u>E<sub>f</sub></u>	<u>J<sub>f</sub><sup>π</sup></u>	<u>Mult.<sup>†</sup></u>	<u>δ<sup>†</sup></u>	<u>α<sup>e</sup></u>	<u>Comments</u>
1585.876	(1/2 <sup>-</sup> )	315.151 & 20	13.9 <sup>c</sup> 21	1270.742	(1/2) <sup>-</sup>				
		674.29 & 15	100 <sup>c</sup> 16	911.640	(5/2) <sup>-</sup>				
1616.683	(1/2 <sup>+</sup> , 3/2, 5/2 <sup>+</sup> )	304.880 & 7	46 <sup>c</sup> 6	1311.798	(5/2 <sup>+</sup> , 7/2)				
		320.013 & 7	44 <sup>c</sup> 6	1296.671	(3/2 <sup>-</sup> , 5/2, 7/2 <sup>-</sup> )				
		506.06 & 3	100 <sup>c</sup> 13	1110.706	3/2 <sup>-</sup> , 5/2 <sup>-</sup>				
		705.07 & 10	83 <sup>c</sup> 32	911.640	(5/2) <sup>-</sup>				
		1518.5 <sup>g</sup> & 8	<1070 <sup>g</sup> <sup>c</sup>	99.2405	5/2 <sup>-</sup>				
		1530.5 <sup>g</sup> & 10	<1451 <sup>g</sup> <sup>c</sup>	86.9188	3/2 <sup>-</sup>				Large α(K)exp, suggesting probable E0 component for doubly-placed γ, probably results from the alternative placement.
1618.784	1/2, 3/2	416.528 & 10	6.8 <sup>c</sup> 9	1202.256	(5/2 <sup>+</sup> )				
		767.29 & 20	6.7 <sup>c</sup> 17	851.394	3/2 <sup>-</sup>				
		805.47 <sup>f&amp;i</sup> & 25	<6.0 <sup>c</sup>	813.337	(1/2) <sup>-</sup>				
		1594.5 & 11	100 <sup>c</sup> 29	24.1999	1/2 <sup>-</sup>				
1650.5	(23/2 <sup>-</sup> )	451.8 <sup>a</sup> 5	100	1198.7	(19/2 <sup>-</sup> )	(E2) <sup>a</sup>		0.0232	
1655.2	(25/2 <sup>-</sup> )	437.2 <sup>@</sup> 5	100	1218.0	(21/2 <sup>-</sup> )	(E2) <sup>a</sup>		0.0253	
1656.48	5/2 <sup>-</sup> , 7/2 <sup>-</sup> , 9/2 <sup>-</sup>	934.5 5	53 26	722.279	5/2 <sup>-</sup>				
		1266.68 25	100 18	389.5279	9/2 <sup>-</sup>	E2		0.00233	
		1392.27 <sup>f</sup> 4	79	264.2538	9/2 <sup>-</sup>	E2		0.00197	
		1412.39 10	86 9	243.8163	7/2 <sup>-</sup>	M1+E2	-0.08 18	0.00315 9	
		1556.7 4	42 7	99.2405	5/2 <sup>-</sup>				
1657.948	5/2 <sup>+</sup>	587.44 6	1.9 4	1070.665	7/2 <sup>+</sup>	M1		0.0271	
		1088.23 8	3.0 5	569.834	5/2 <sup>-</sup>				
		1379.04 <sup>f</sup> 4	32	278.5983	7/2 <sup>-</sup>	E1		9.54×10 <sup>-4</sup>	
		1466.84 4	100 3	191.2142	5/2 <sup>-</sup>	E1(+M2)	-0.03 4	0.0009 33	
		1658.08 5	23.9 6	0.0	7/2 <sup>+</sup>	M1+E2	+0.28 11	0.0022 26	
1666.1	(27/2 <sup>+</sup> )	509.1 <sup>#</sup> 6	100	1157.0	23/2 <sup>+</sup>				
1688.92	(5/2, 7/2) <sup>-</sup>	624.00 & 25	10 <sup>c</sup> 5	1064.760	(5/2 <sup>+</sup> , 7/2, 9/2 <sup>+</sup> )				
		777.31 & 15	5.5 <sup>c</sup> 9	911.640	(5/2) <sup>-</sup>				
		1410.6 & 6	100 <sup>c</sup> 49	278.5983	7/2 <sup>-</sup>				
		1497.6 & 20	65 <sup>c</sup> 19	191.2142	5/2 <sup>-</sup>	M1 &		0.00278	
		1689.2 & 12	47 <sup>c</sup> 23	0.0	7/2 <sup>+</sup>				
1689.289	7/2 <sup>-</sup>	406.03 <sup>f</sup> 7	<6.0	1283.275	(7/2, 9/2) <sup>-</sup>				
		728.73 6	34.2 20	960.594	7/2 <sup>-</sup>	(M1)		0.01570	

**Adopted Levels, Gammas (continued)**

$\gamma(^{169}\text{Yb})$  (continued)

$E_i(\text{level})$	$J_i^\pi$	$E_\gamma^\dagger$	$I_\gamma^\ddagger$	$E_f$	$J_f^\pi$	Mult. <sup>†</sup>	$\delta^\dagger$	$\alpha^e$	Comments
1689.289	7/2 <sup>-</sup>	1497.92 4	39.5 16	191.2142	5/2 <sup>-</sup>	M1+E2	+0.24 6	0.00272 5	
		1618.48 4	100.0 23	70.8815	9/2 <sup>+</sup>	E1(+M2)	+0.04 6	0.00093 4	
		1689.35 5	73 4	0.0	7/2 <sup>+</sup>	E1(+M2)	-0.03 7	0.00093 4	
1694.43	5/2 <sup>+</sup>	1595.2 5	34 8	99.2405	5/2 <sup>-</sup>				
		1607.51 6	100 8	86.9188	3/2 <sup>-</sup>	E1(+M2)	+0.04 18	0.00093 20	
		1694.38 14	64 5	0.0	7/2 <sup>+</sup>	(M1)		0.00219	
1696.364	3/2 <sup>-</sup>	399.621 & 17	3.9 <sup>c</sup> 5	1296.671	(3/2 <sup>-</sup> , 5/2, 7/2 <sup>-</sup> )				
		425.77 & 6	0.85 <sup>c</sup> 23	1270.742	(1/2) <sup>-</sup>				
		784.88 & 15	<6.0 <sup>g</sup>	911.640	(5/2) <sup>-</sup>				
		845.10 & 25	4.7 <sup>c</sup> 11	851.394	3/2 <sup>-</sup>				
		1417.7 & 5	54 <sup>c</sup> 25	278.5983	7/2 <sup>-</sup>				
1707.83	(7/2, 9/2) <sup>+</sup>	1505.9 & 10	100 <sup>c</sup> 20	191.2142	5/2 <sup>-</sup>	M1 &		0.00275	
		875.9 <sup>f</sup>	<24	831.936	(7/2) <sup>+</sup>				
		1636.82 8	100 4	70.8815	9/2 <sup>+</sup>	M1+E2		0.0019 4	
1708.48	7/2 <sup>-</sup>	1707.97 <sup>f</sup> 9	<97	0.0	7/2 <sup>+</sup>	(M1+E2)		0.0018 4	
		1318.53 <sup>f</sup> 12	<26	389.5279	9/2 <sup>-</sup>	(M1)		0.00368	
		1429.87 9	57 3	278.5983	7/2 <sup>-</sup>	M1+E2	+0.02 +18-13	0.00307 7	
1716.196	7/2 <sup>+</sup>	1517.31 4	100 6	191.2142	5/2 <sup>-</sup>	M1+E2	-5.9 +7-9	0.00175 3	
		1326.85 <sup>f</sup> 3	95	389.5279	9/2 <sup>-</sup>	E1		9.81×10 <sup>-4</sup>	
		1437.43 4	100 3	278.5983	7/2 <sup>-</sup>	E1(+M2)	-0.07 +9-8	0.00096 11	
		1524.77 5	82 4	191.2142	5/2 <sup>-</sup>	E1(+M2)	+0.03 4	9.26×10 <sup>-4</sup> 25	
		1554.4 <sup>f</sup> 5	<21	161.6505	11/2 <sup>+</sup>				
1724.57	(3/2 <sup>-</sup> )	1645.14 8	12.7 8	70.8815	9/2 <sup>+</sup>	M1+E2	+0.34 +21-15	0.00223 11	
		439.42 & 4	2.2 6	1285.126	(3/2 <sup>+</sup> , 5/2, 7/2 <sup>+</sup> )				
		453.69 & 7	1.1 4	1270.742	(1/2) <sup>-</sup>				
		522.58 & 6	<3.6 <sup>g</sup>	1202.256	(5/2 <sup>+</sup> )				
		917.4 & 4	3.3 <sup>c</sup> 11	807.074	(7/2) <sup>-</sup>				
		1064.7 & 4	<12 <sup>g</sup>	659.630	3/2 <sup>-</sup>				
		1076.56 & 8	71 <sup>c</sup> 11	647.836	7/2 <sup>-</sup>				
		1445.2 & 17	<21 <sup>g</sup>	278.5983	7/2 <sup>-</sup>				
		1480.1 & 20	65 <sup>c</sup> 37	243.8163	7/2 <sup>-</sup>				
		1625.3 & 8	≈100 <sup>c</sup>	99.2405	5/2 <sup>-</sup>				

$\alpha(K)$ exp in (n, $\gamma$ ) E=thermal suggests M1 multipolarity, inconsistent with this placement, but line appears to Be complex.

**Adopted Levels, Gammas (continued)**

$\gamma(^{169}\text{Yb})$  (continued)

$E_i(\text{level})$	$J_i^\pi$	$E_\gamma^\dagger$	$I_\gamma^\ddagger$	$E_f$	$J_f^\pi$	Mult. <sup>†</sup>	$\delta^\dagger$	$\alpha^e$
1724.57	(3/2 <sup>-</sup> )	1637.2 <sup>g&amp;</sup> 12	53 <sup>gC</sup> 16	86.9188	3/2 <sup>-</sup>			
1742.876	(3/2 <sup>+</sup> , 5/2, 7/2 <sup>-</sup> )	264.365 <sup>&amp;</sup> 10	0.75 <sup>c</sup> 10	1478.510	(3/2 <sup>-</sup> , 5/2 <sup>+</sup> )			
		510.70 <sup>&amp;</sup> 5	13.6 <sup>c</sup> 19	1232.220	(3/2 <sup>-</sup> )			
		671.94 <sup>&amp;</sup> 15	6.8 <sup>c</sup> 25	1070.665	7/2 <sup>+</sup>			
		1095.58 <sup>&amp;</sup> 12	69 <sup>c</sup> 10	647.276	7/2 <sup>+</sup>			
		1551.5 <sup>&amp;</sup> 15	46 <sup>c</sup> 23	191.2142	5/2 <sup>-</sup>			
		1743.8 <sup>&amp;</sup> 15	100 <sup>c</sup> 31	0.0	7/2 <sup>+</sup>			
1781.239	(3/2 <sup>-</sup> , 5/2 <sup>-</sup> )	226.379 <sup>&amp;</sup> 5	2.8 <sup>c</sup> 4	1554.860	(1/2 <sup>-</sup> )			
		869.64 <sup>&amp;</sup> 8	52 <sup>c</sup> 8	911.640	(5/2 <sup>-</sup> )			
		1061.60 <sup>&amp;</sup> 17	100 <sup>c</sup> 18	719.953	3/2 <sup>+</sup>			
		1133.4 <sup>&amp;</sup> 5	59 <sup>c</sup> 15	647.836	7/2 <sup>-</sup>			
		1391.8 <sup>g&amp;</sup> 17	<147 <sup>gC</sup>	389.5279	9/2 <sup>-</sup>			
1781.715	7/2 <sup>-</sup>	703.33 10	10.2 12	1078.338	9/2 <sup>-</sup>	M1		0.01716
		821.18 4	26.4 10	960.594	7/2 <sup>-</sup>	M1+E2	+0.13 +3I-13	0.0115 9
		862.4 <sup>f</sup> 5	<4.5	919.806	(9/2 <sup>-</sup> )			
		1392.27 <sup>f</sup> 4	100	389.5279	9/2 <sup>-</sup>	E2		0.00197
		1502.89 6	18.0 10	278.5983	7/2 <sup>-</sup>	(M1)		0.00276
		1590.35 5	40.1 16	191.2142	5/2 <sup>-</sup>	M1+E2	+0.117 23	0.00245
		1682.49 5	24.5 25	99.2405	5/2 <sup>-</sup>	M1+E2	+0.53 +8-6	0.00206 5
		1781.75 5	78.5 22	0.0	7/2 <sup>+</sup>	E1+M2	+0.08 +6-5	0.00097 5
1796.676	(3/2 <sup>-</sup> , 5/2 <sup>+</sup> )	511.55 <sup>&amp;</sup> 2	38 <sup>c</sup> 5	1285.126	(3/2 <sup>+</sup> , 5/2, 7/2 <sup>+</sup> )			
		989.34 <sup>&amp;</sup> 25	20 <sup>c</sup> 4	807.074	(7/2 <sup>-</sup> )			
		1227.3 <sup>&amp;</sup> 7	35 <sup>c</sup> 11	569.834	5/2 <sup>-</sup>			
		1518.5 <sup>g&amp;</sup> 8	<140 <sup>gC</sup>	278.5983	7/2 <sup>-</sup>			
		1604.8 12	100 <sup>c</sup> 39	191.2142	5/2 <sup>-</sup>			
1828.053	1/2, 3/2, 5/2 <sup>+</sup>	131.6883 <sup>&amp;</sup> 20	0.95 <sup>c</sup> 21	1696.364	3/2 <sup>-</sup>			
		296.53 <sup>&amp;</sup> 2	1.05 <sup>c</sup> 8	1531.570	(3/2 <sup>-</sup> , 5/2 <sup>+</sup> )			
		477.98 <sup>&amp;</sup> 3	8.2 <sup>c</sup> 14	1350.148	(3/2 <sup>-</sup> )			
		717.34 <sup>&amp;</sup> 12	15 <sup>c</sup> 5	1110.706	3/2 <sup>-</sup> , 5/2 <sup>-</sup>			
		1105.5 <sup>g&amp;</sup> 3	<36 <sup>gC</sup>	722.279	5/2 <sup>-</sup>			
		1563.0 <sup>&amp;</sup> 10	100 <sup>c</sup> 31	264.2538	9/2 <sup>-</sup>			
		1583.6 <sup>&amp;</sup> 10	69 <sup>c</sup> 27	243.8163	7/2 <sup>-</sup>			
		1637.2 <sup>g&amp;</sup> 12	<168 <sup>gC</sup>	191.2142	5/2 <sup>-</sup>			
1844.6	(29/2 <sup>+</sup> )	508.4 <sup>#</sup> 6	100	1336.2	(25/2 <sup>+</sup> )			

Adopted Levels, Gammas (continued)

$\gamma(^{169}\text{Yb})$  (continued)

$E_i(\text{level})$	$J_i^\pi$	$E_\gamma^\dagger$	$I_\gamma^\ddagger$	$E_f$	$J_f^\pi$	Mult. $\ddagger$	$\delta^\dagger$	$\alpha^e$
1867.66	(3/2 <sup>-</sup> ,5/2 <sup>+</sup> )	143.087 & 25	0.83 <sup>c</sup> 19	1724.57	(3/2 <sup>-</sup> )			
		1623.6 & 9	100 <sup>c</sup> 66	243.8163	7/2 <sup>-</sup>			
1888.00	(7/2 <sup>+</sup> ,9/2 <sup>+</sup> )	817.6 4	100 4	1070.665	7/2 <sup>+</sup>			
		1055.8 4	39 13	831.936	(7/2) <sup>+</sup>			
		1127.1 6		761.846	(5/2) <sup>+</sup>			
		1726.30 9	29 3	161.6505	11/2 <sup>+</sup>			
		1817.12 7	16.1 11	70.8815	9/2 <sup>+</sup>			
1908.657	5/2 <sup>+</sup>	1146.92 13	4.5 9	761.846	(5/2) <sup>+</sup>	(M1)		0.00512
		1260.86 6	19.6 12	647.836	7/2 <sup>-</sup>			
		1318.53 <sup>f</sup> 12	<8.7	590.689	(5/2) <sup>+</sup>	(M1)		0.00368
		1338.82 4	100 3	569.834	5/2 <sup>-</sup>	E1+M2	-0.04 3	0.00099 3
		1630.02 13	4.0 7	278.5983	7/2 <sup>-</sup>			
		1717.41 6	6.9 6	191.2142	5/2 <sup>-</sup>			
		1908.46 6	5.1 3	0.0	7/2 <sup>+</sup>	(M1,E2)		0.0016 3
1954.54	5/2 <sup>-</sup> ,7/2 <sup>-</sup>	875.9 <sup>f</sup>	<29	1078.338	9/2 <sup>-</sup>			
		883.81 9	44 9	1070.665	7/2 <sup>+</sup>			
		993.96 13	29 9	960.594	7/2 <sup>-</sup>	(M1)		0.00727
		1122.21 7	84 10	831.936	(7/2) <sup>+</sup>			
		1676.46 8	47.9 23	278.5983	7/2 <sup>-</sup>	M1		0.00223
		1763.35 5	100 5	191.2142	5/2 <sup>-</sup>	M1(+E2)		0.0017 4
		1954.48 9	23.3 15	0.0	7/2 <sup>+</sup>			
1972.23	9/2 <sup>-</sup>	1043.20 8	100 7	929.12	11/2 <sup>-</sup>	M1+E2	-1.1 7	0.0048 13
		1223.07 <sup>f</sup> 8	<92	749.026	(9/2) <sup>-</sup>			
		1707.97 <sup>f</sup> 9	<146	264.2538	9/2 <sup>-</sup>	(M1+E2)		0.0018 4
		1810.64 13	15.9 28	161.6505	11/2 <sup>+</sup>			
1974.046	7/2 <sup>-</sup>	419.39 8	12.8 12	1554.876	9/2 <sup>-</sup>			
		895.82 11	50 17	1078.338	9/2 <sup>-</sup>			
		1013.08 10	28 5	960.594	7/2 <sup>-</sup>	(M1)		0.00693
		1251.74 25	23 7	722.279	5/2 <sup>-</sup>	(E2)		0.00238
		1326.85 <sup>f</sup> 3	40	647.276	7/2 <sup>+</sup>	E1		9.81×10 <sup>-4</sup>
		1487.21 24	12.8 17	486.937	(11/2) <sup>-</sup>			
		1710.17 10	99 25	264.2538	9/2 <sup>-</sup>			
		1730.8 6	7 4	243.8163	7/2 <sup>-</sup>			
		1903.04 5	25.5 13	70.8815	9/2 <sup>+</sup>	(E1+M2)	+0.08 15	0.00100 12
		1973.68 6	100 3	0.0	7/2 <sup>+</sup>	(E1+M2)	-0.13 +9-8	0.00104 7
2029.92	7/2 <sup>-</sup>	862.4 <sup>f</sup> 5	<8	1167.629	(7/2,9/2) <sup>-</sup>			
		1109.99 7	27.3 14	919.806	(9/2) <sup>-</sup>	M1+E2	-0.19 +24-37	0.0055 6
		1223.07 <sup>f</sup> 8	<21	807.074	(7/2) <sup>-</sup>			
		1751.2 4	2.0 5	278.5983	7/2 <sup>-</sup>			

Adopted Levels, Gammas (continued)

$\gamma(^{169}\text{Yb})$  (continued)

$E_i(\text{level})$	$J_i^\pi$	$E_\gamma^\dagger$	$I_\gamma^\ddagger$	$E_f$	$J_f^\pi$	Mult. <sup>†</sup>	$\delta^\ddagger$	$\alpha^e$	Comments
2029.92	7/2 <sup>-</sup>	1838.30 8	5.2 3	191.2142	5/2 <sup>-</sup>				
		1959.24 9	40.8 14	70.8815	9/2 <sup>+</sup>	(E1(+M2))	+0.03 4	1.00×10 <sup>-3</sup> 2	
		2030.00 6	100 3	0.0	7/2 <sup>+</sup>	(E1(+M2))	+0.03 5	1.03×10 <sup>-3</sup> 2	
2065.04	7/2 <sup>+</sup>	2065.03 11	100	0.0	7/2 <sup>+</sup>	M1+E2+E0			
2101.03	(5/2,7/2) <sup>-</sup>	1822.42 11	100 7	278.5983	7/2 <sup>-</sup>				Mult.: E1 or E2 from $\alpha(\text{K})\text{exp}$ in $\varepsilon$ decay.
		2014.06 9	90 11	86.9188	3/2 <sup>-</sup>	M1,E2		0.00148 23	
		2101.09 13	35.3 27	0.0	7/2 <sup>+</sup>				
2135.4		2135.4 4	100	0.0	7/2 <sup>+</sup>				
2139.9	(29/2 <sup>-</sup> )	484.7 <sup>#</sup> 3	100	1655.2	(25/2 <sup>-</sup> )	(E2)		0.0193	Mult.: Q from <sup>124</sup> Sn( <sup>48</sup> Ca,3n $\gamma$ ) for intraband $\gamma$ .
2258.1	(31/2 <sup>+</sup> )	592 <sup>#</sup> 2	100	1666.1	(27/2 <sup>+</sup> )				
2287.23	7/2 <sup>-</sup>	1367.56 7	100 6	919.806	(9/2 <sup>-</sup> )				
		1897.60 10	21.4 13	389.5279	9/2 <sup>-</sup>	M1		0.00183	
		2095.90 7	86 3	191.2142	5/2 <sup>-</sup>	M1		1.63×10 <sup>-3</sup>	
2296.85	5/2 <sup>-</sup> ,7/2 <sup>-</sup> ,9/2 <sup>-</sup>	847.9 7	43 22	1449.773	7/2 <sup>-</sup>	M1		0.01076	
		1547.69 18	100 13	749.026	(9/2 <sup>-</sup> )				
		2018.40 27	27 8	278.5983	7/2 <sup>-</sup>				
2426.1	(33/2 <sup>+</sup> )	581.5 <sup>#</sup> 6	100	1844.6	(29/2 <sup>+</sup> )				
2667.7	(33/2 <sup>-</sup> )	527.8 <sup>#</sup> 3	100	2139.9	(29/2 <sup>-</sup> )	(E2)		0.01556	Mult.: Q from <sup>124</sup> Sn( <sup>48</sup> Ca,3n $\gamma$ ) for intraband $\gamma$ .
2929	(35/2 <sup>+</sup> )	671 <sup>#</sup> 2	100	2258.1	(31/2 <sup>+</sup> )				
3075.2	(37/2 <sup>+</sup> )	649.1 <sup>#</sup> 6	100	2426.1	(33/2 <sup>+</sup> )				
3238.3	(37/2 <sup>-</sup> )	570.6 <sup>#</sup> 3	100	2667.7	(33/2 <sup>-</sup> )	(E2)		0.01285	Mult.: Q from <sup>124</sup> Sn( <sup>48</sup> Ca,3n $\gamma$ ) for intraband $\gamma$ .
3588	(39/2 <sup>+</sup> )	659 <sup>#</sup> 1	100	2929	(35/2 <sup>+</sup> )				
3782.2	(41/2 <sup>+</sup> )	707.0 <sup>#</sup> 6	100	3075.2	(37/2 <sup>+</sup> )				
3855.8	(41/2 <sup>-</sup> )	617.5 <sup>#</sup> 3	100	3238.3	(37/2 <sup>-</sup> )				
4330	(43/2 <sup>+</sup> )	742 <sup>#</sup> 2	100	3588	(39/2 <sup>+</sup> )				
4524.4	(45/2 <sup>+</sup> )	742.2 <sup>#</sup> 6	100	3782.2	(41/2 <sup>+</sup> )				
4526.6	(45/2 <sup>-</sup> )	670.8 <sup>#</sup> 6	100	3855.8	(41/2 <sup>-</sup> )				
5116	(47/2 <sup>+</sup> )	786 <sup>#</sup> 1	100	4330	(43/2 <sup>+</sup> )				
5256.2	(49/2 <sup>-</sup> )	729.6 <sup>#</sup> 3	100	4526.6	(45/2 <sup>-</sup> )				
5272.5	(49/2 <sup>+</sup> )	748.1 <sup>#</sup> 6	100	4524.4	(45/2 <sup>+</sup> )				
6046.2	(53/2 <sup>+</sup> )	773.7 <sup>#</sup> 3	100	5272.5	(49/2 <sup>+</sup> )				
6048.0	(53/2 <sup>-</sup> )	791.8 <sup>#</sup> 3	100	5256.2	(49/2 <sup>-</sup> )	(E2)		0.00606	Mult.: Q from <sup>124</sup> Sn( <sup>48</sup> Ca,3n $\gamma$ ) for intraband $\gamma$ .



Adopted Levels, Gammas (continued)

$\gamma(^{169}\text{Yb})$  (continued)

$E_i(\text{level})$	$J_i^\pi$	$E_\gamma^\dagger$	$I_\gamma^\ddagger$	$E_f$	$J_f^\pi$	Comments
6875	(57/2 <sup>+</sup> )	829 <sup>#</sup>	2	100	6046.2 (53/2 <sup>+</sup> )	
6903.3	(57/2 <sup>-</sup> )	855.3 <sup>#</sup>	3	100	6048.0 (53/2 <sup>-</sup> )	
7771	(61/2 <sup>+</sup> )	896 <sup>#</sup>	2	100	6875 (57/2 <sup>+</sup> )	
7823.0	(61/2 <sup>-</sup> )	919.7 <sup>#</sup>	3	100	6903.3 (57/2 <sup>-</sup> )	
8806.3	(65/2 <sup>-</sup> )	983.3 <sup>#</sup>	3	100	7823.0 (61/2 <sup>-</sup> )	
9853.9	(69/2 <sup>-</sup> )	1047.5 <sup>#</sup>	6	100	8806.3 (65/2 <sup>-</sup> )	
10960.9	(73/2 <sup>-</sup> )	1107 <sup>#</sup>	2	100	9853.9 (69/2 <sup>-</sup> )	

<sup>†</sup> From <sup>169</sup>Lu  $\epsilon$  decay (34.06 h), except where noted to the contrary.

<sup>‡</sup> Relative photon branching from each level; values are from <sup>169</sup>Lu  $\epsilon$  decay (34.06 h), except where noted. Upper limits are shown for photon branchings affected by multiple placement.

<sup>#</sup> From <sup>124</sup>Sn(<sup>48</sup>Ca,3n $\gamma$ ).

<sup>@</sup> Average from <sup>124</sup>Sn(<sup>48</sup>Ca,3n $\gamma$ ) and <sup>167</sup>Er( $\alpha$ ,2n $\gamma$ ).

<sup>&</sup> From <sup>168</sup>Yb(n, $\gamma$ ) E=thermal.

<sup>a</sup> From <sup>167</sup>Er( $\alpha$ ,2n $\gamma$ ).

<sup>b</sup> Complex peak (broader than normal).

<sup>c</sup> From (n, $\gamma$ ) E=thermal.

<sup>d</sup> Weighted average from  $\epsilon$  decay and (n, $\gamma$ ) E=thermal.

<sup>e</sup> Total theoretical internal conversion coefficients, calculated using the BrIcc code (2008Ki07) with Frozen orbital approximation based on  $\gamma$ -ray energies, assigned multipolarities, and mixing ratios, unless otherwise specified.

<sup>f</sup> Multiply placed.

<sup>g</sup> Multiply placed with undivided intensity.

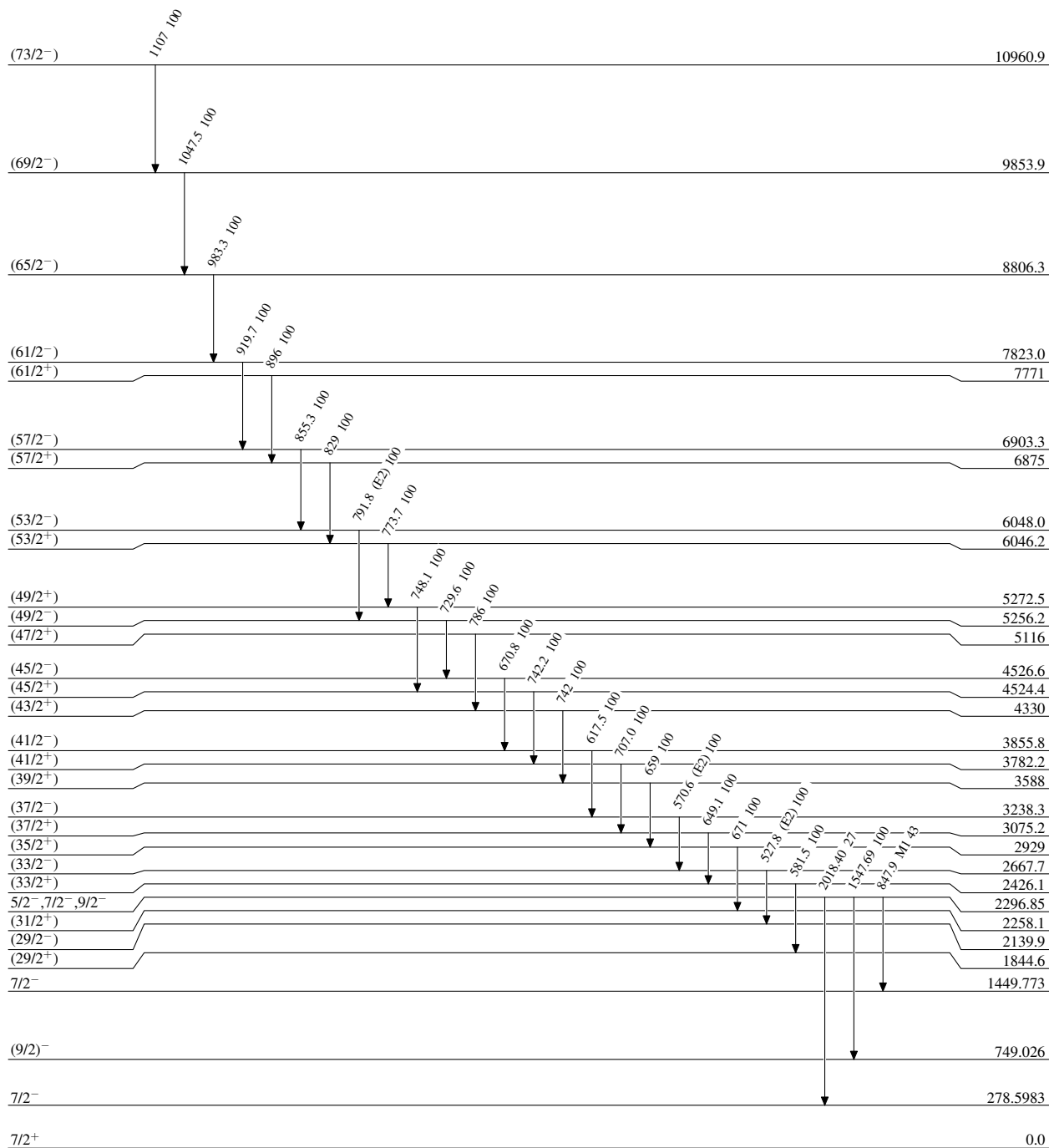
<sup>h</sup> Multiply placed with intensity suitably divided.

<sup>i</sup> Placement of transition in the level scheme is uncertain.

### Adopted Levels, Gammas

#### Level Scheme

Intensities: Relative photon branching from each level

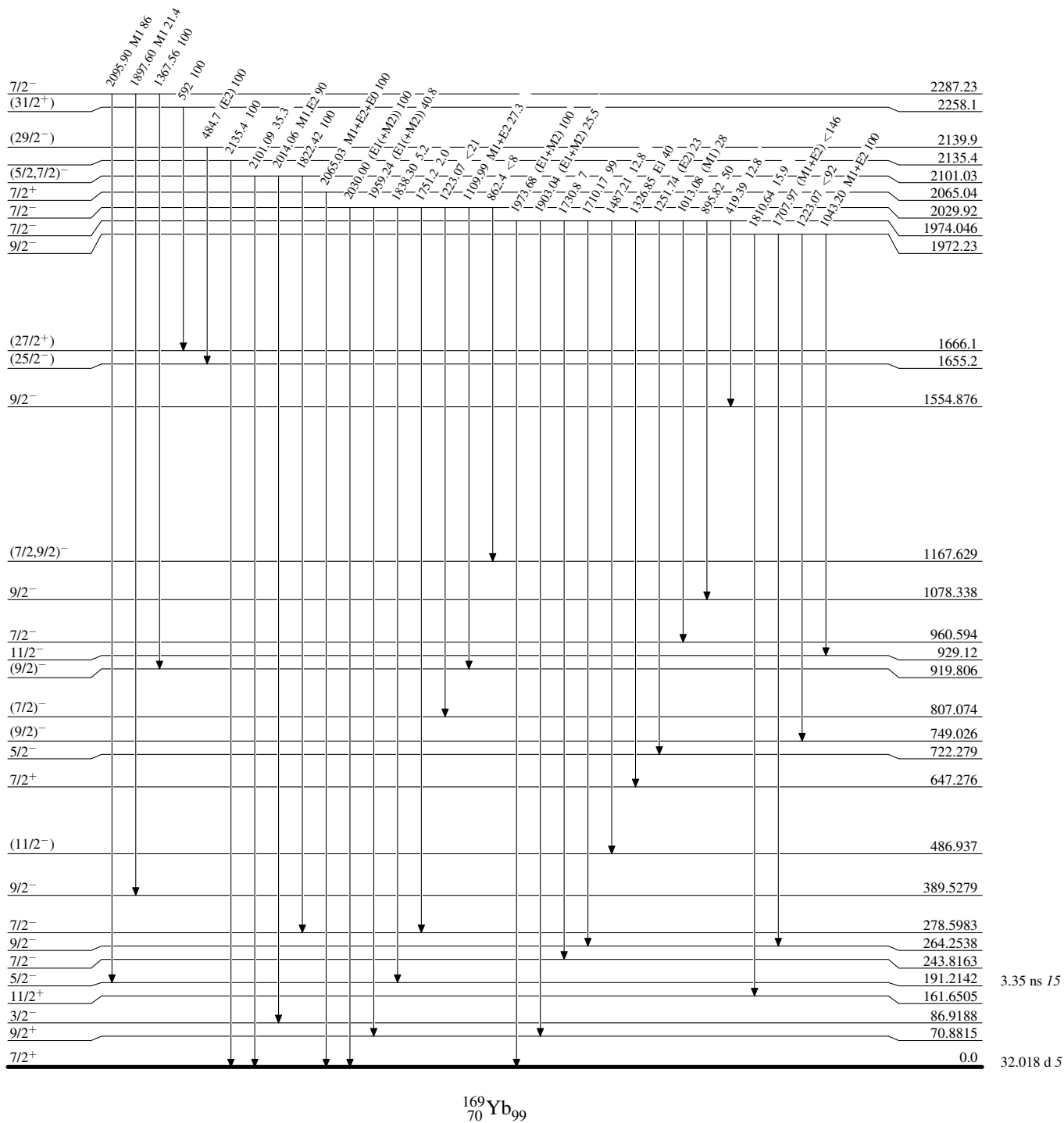


32.018 d 5

**Adopted Levels, Gammas**

Level Scheme (continued)

Intensities: Relative photon branching from each level

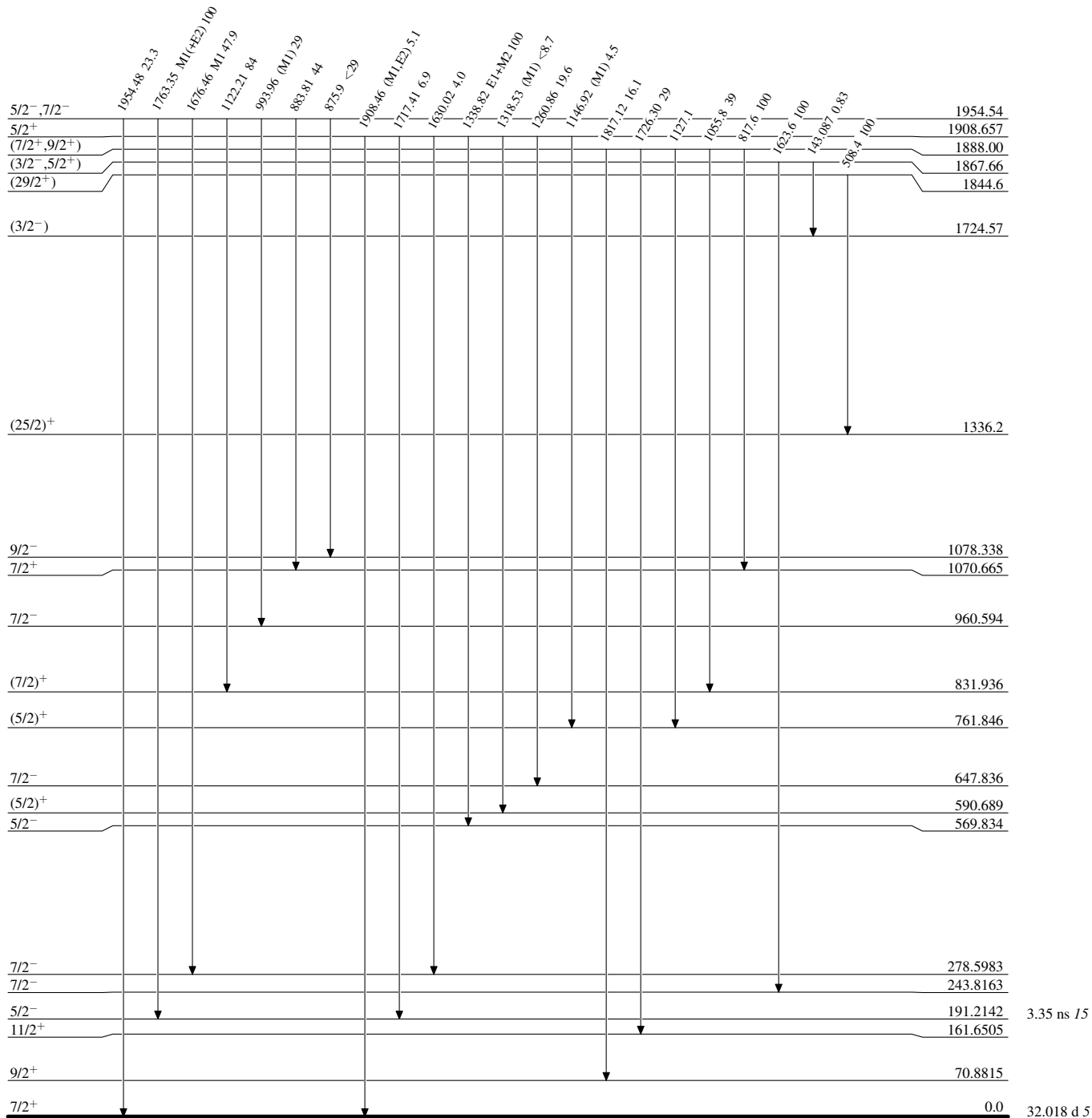


$^{169}_{70}\text{Yb}_{99}$

**Adopted Levels, Gammas**

**Level Scheme (continued)**

Intensities: Relative photon branching from each level

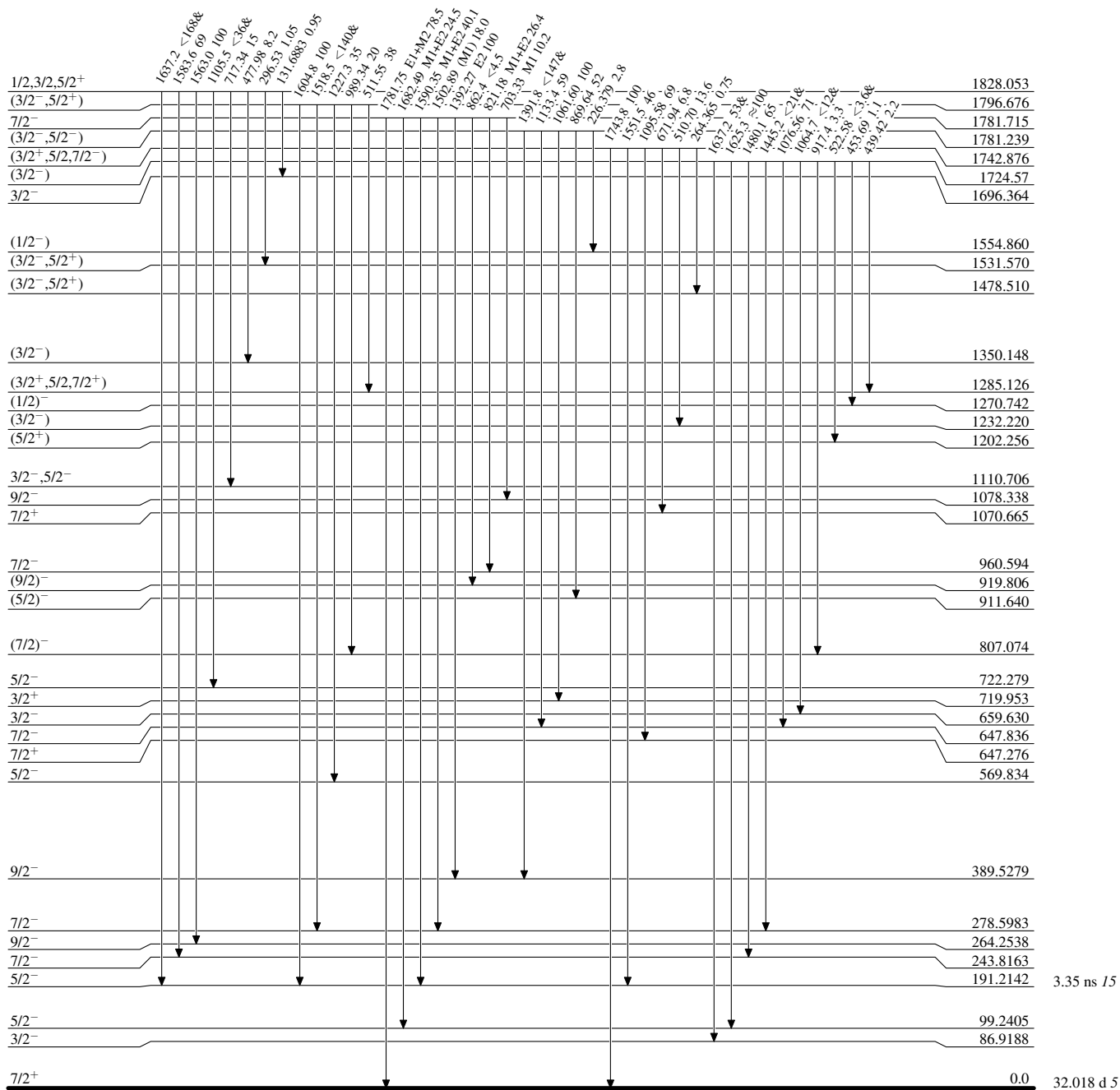


$^{169}_{70}\text{Yb}_{99}$

**Adopted Levels, Gammas**

**Level Scheme (continued)**

Intensities: Relative photon branching from each level  
& Multiply placed: undivided intensity given

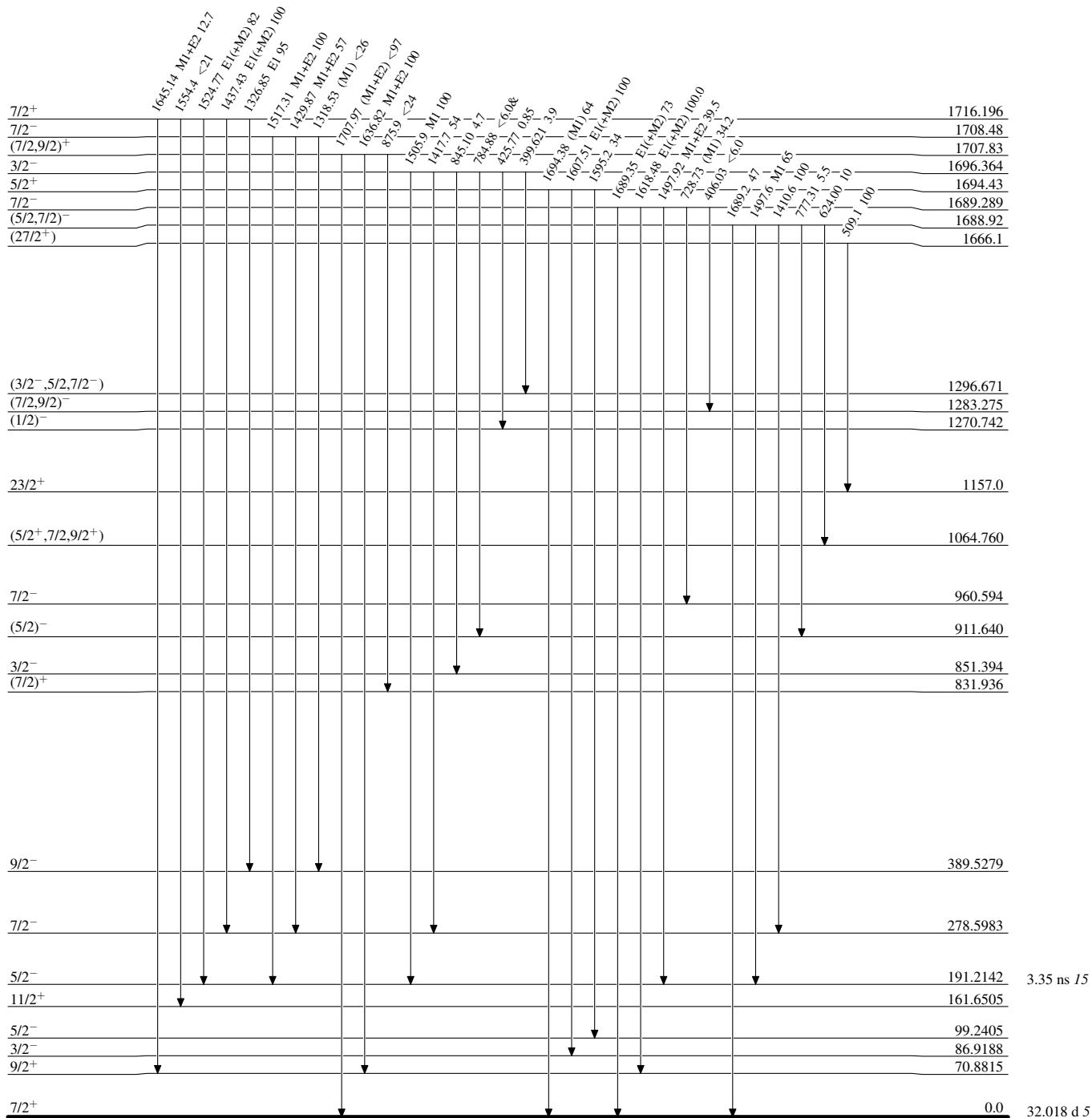


$^{169}_{70}\text{Yb}_{99}$

**Adopted Levels, Gammas**

**Level Scheme (continued)**

Intensities: Relative photon branching from each level  
& Multiplied: undivided intensity given



$^{169}_{70}\text{Yb}_{99}$

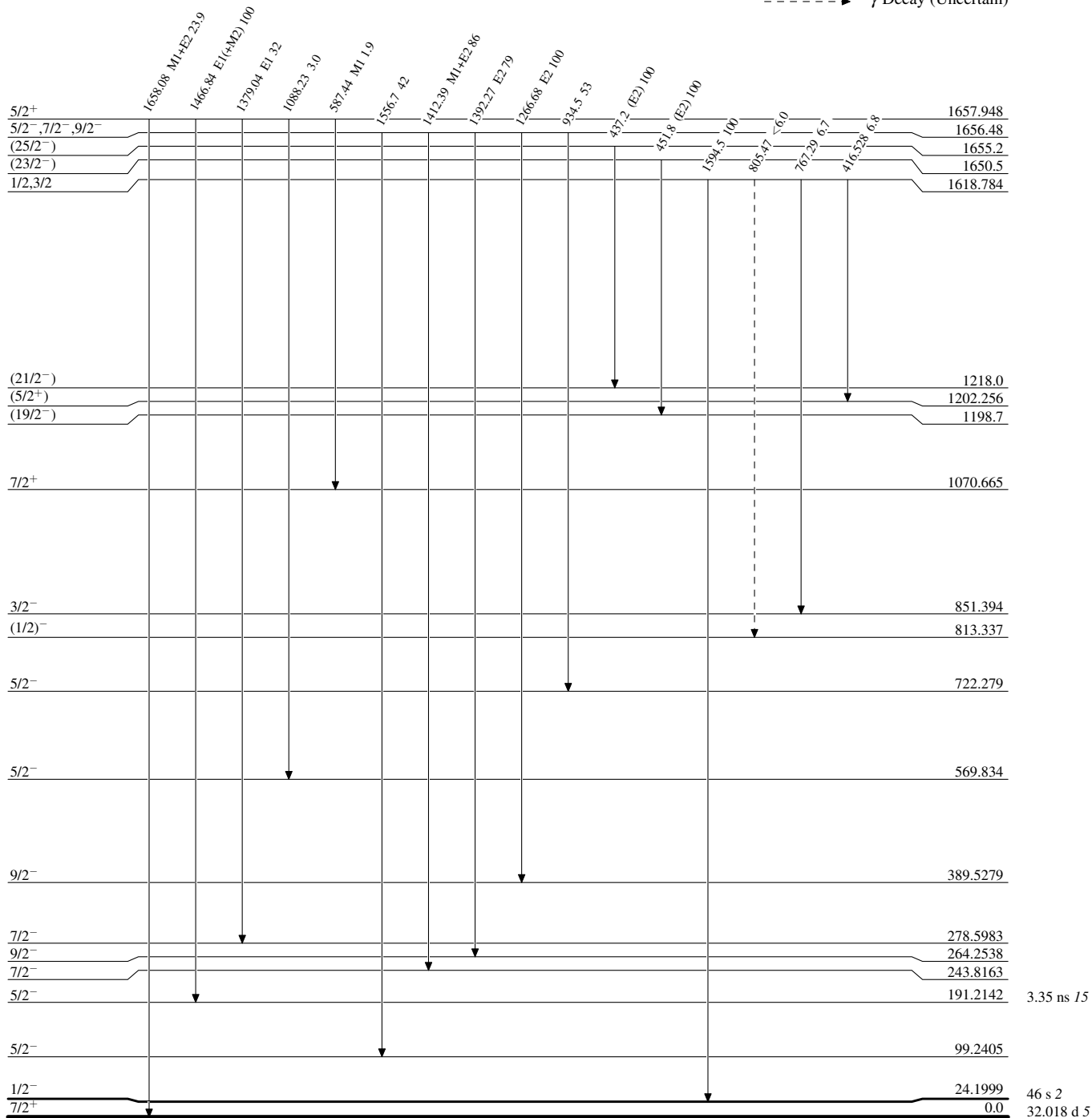
**Adopted Levels, Gammas**

Legend

**Level Scheme (continued)**

Intensities: Relative photon branching from each level  
& Multiplied: undivided intensity given

-----▶  $\gamma$  Decay (Uncertain)



<sup>169</sup>Yb<sub>70</sub>

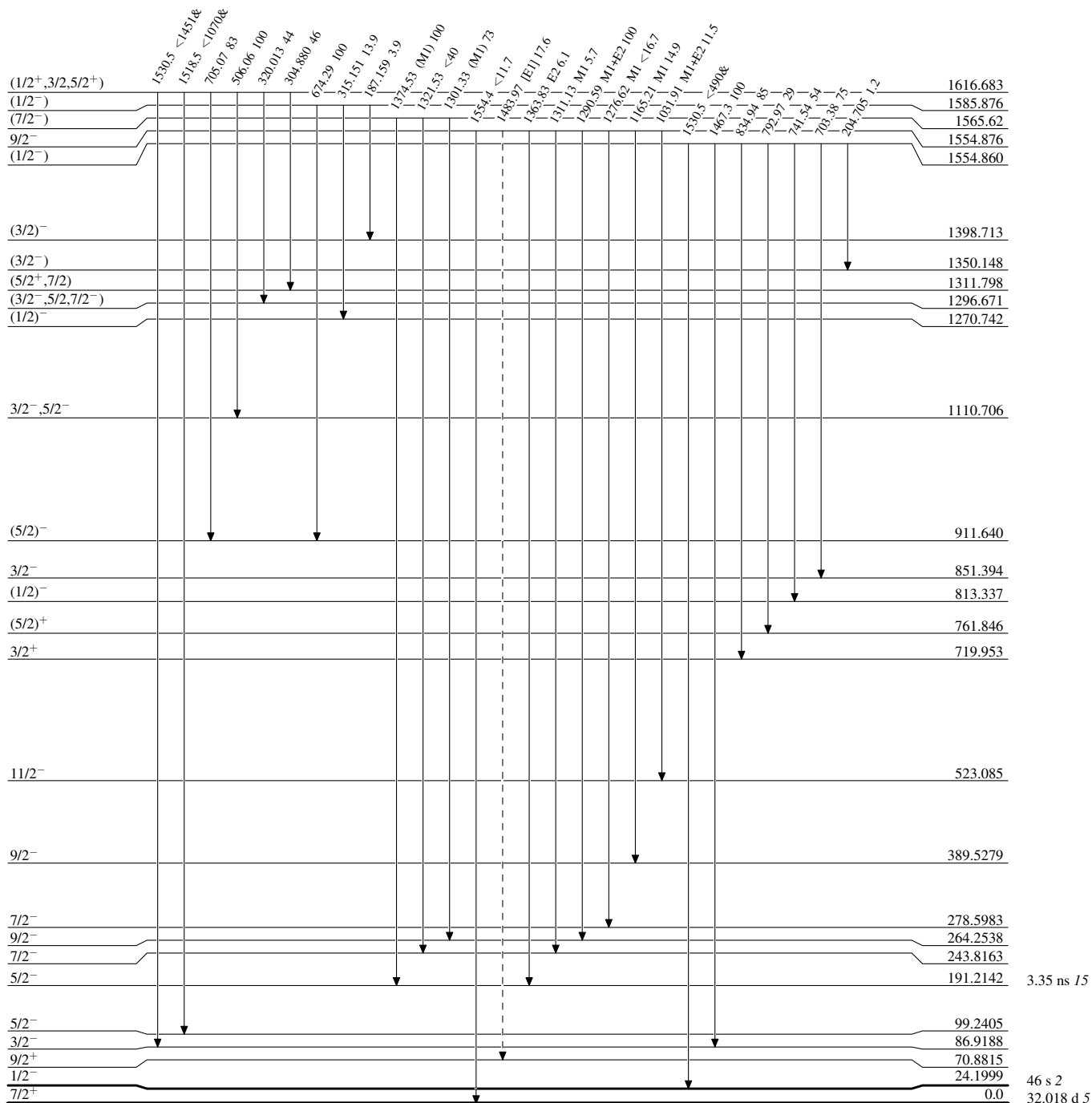
**Adopted Levels, Gammas**

**Level Scheme (continued)**

Legend

Intensities: Relative photon branching from each level  
& Multiply placed: undivided intensity given

-----▶  $\gamma$  Decay (Uncertain)



$^{169}_{70}\text{Yb}_{99}$



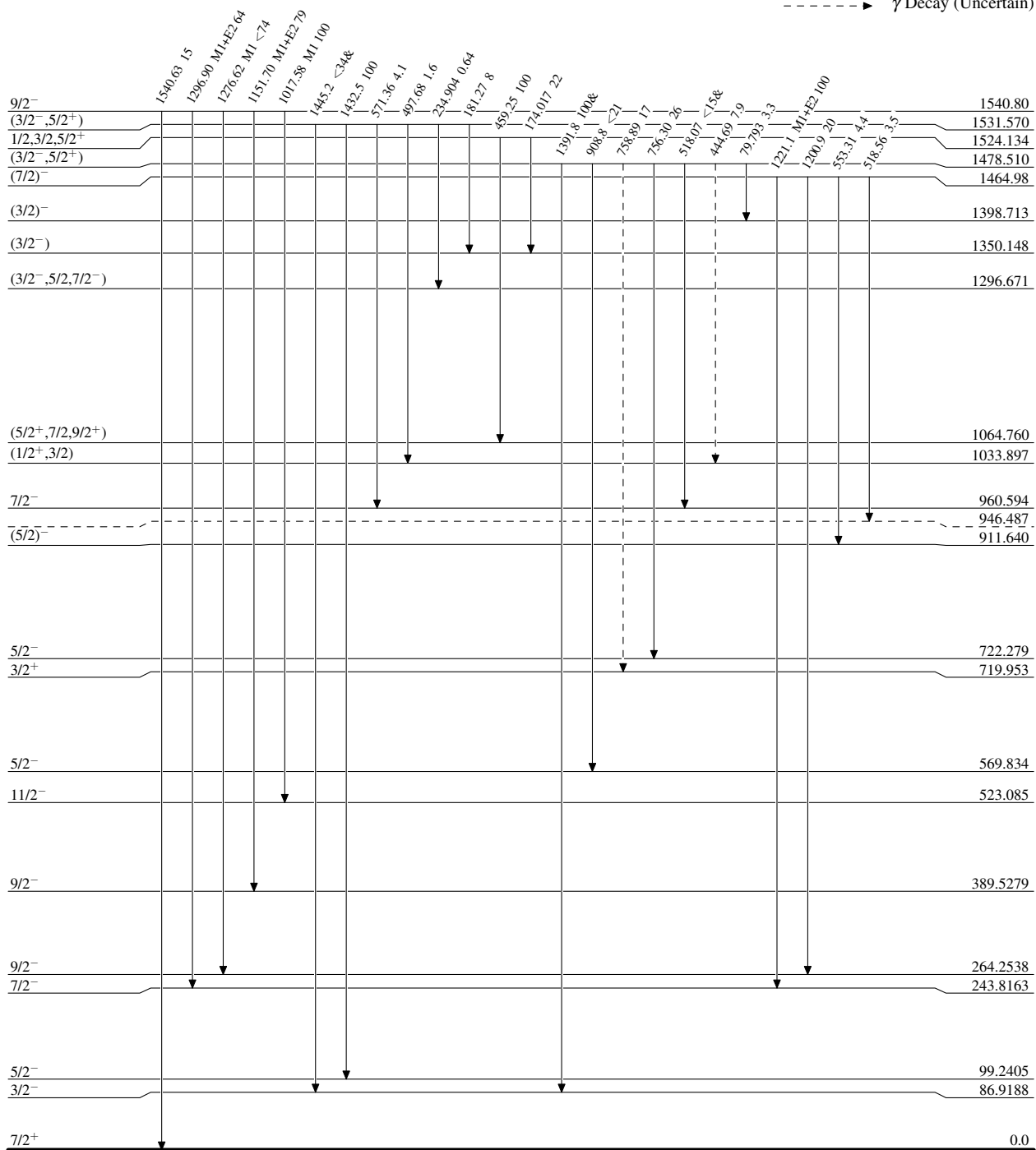
**Adopted Levels, Gammas**

**Level Scheme (continued)**

**Legend**

Intensities: Relative photon branching from each level  
& Multiply placed: undivided intensity given

-----▶  $\gamma$  Decay (Uncertain)



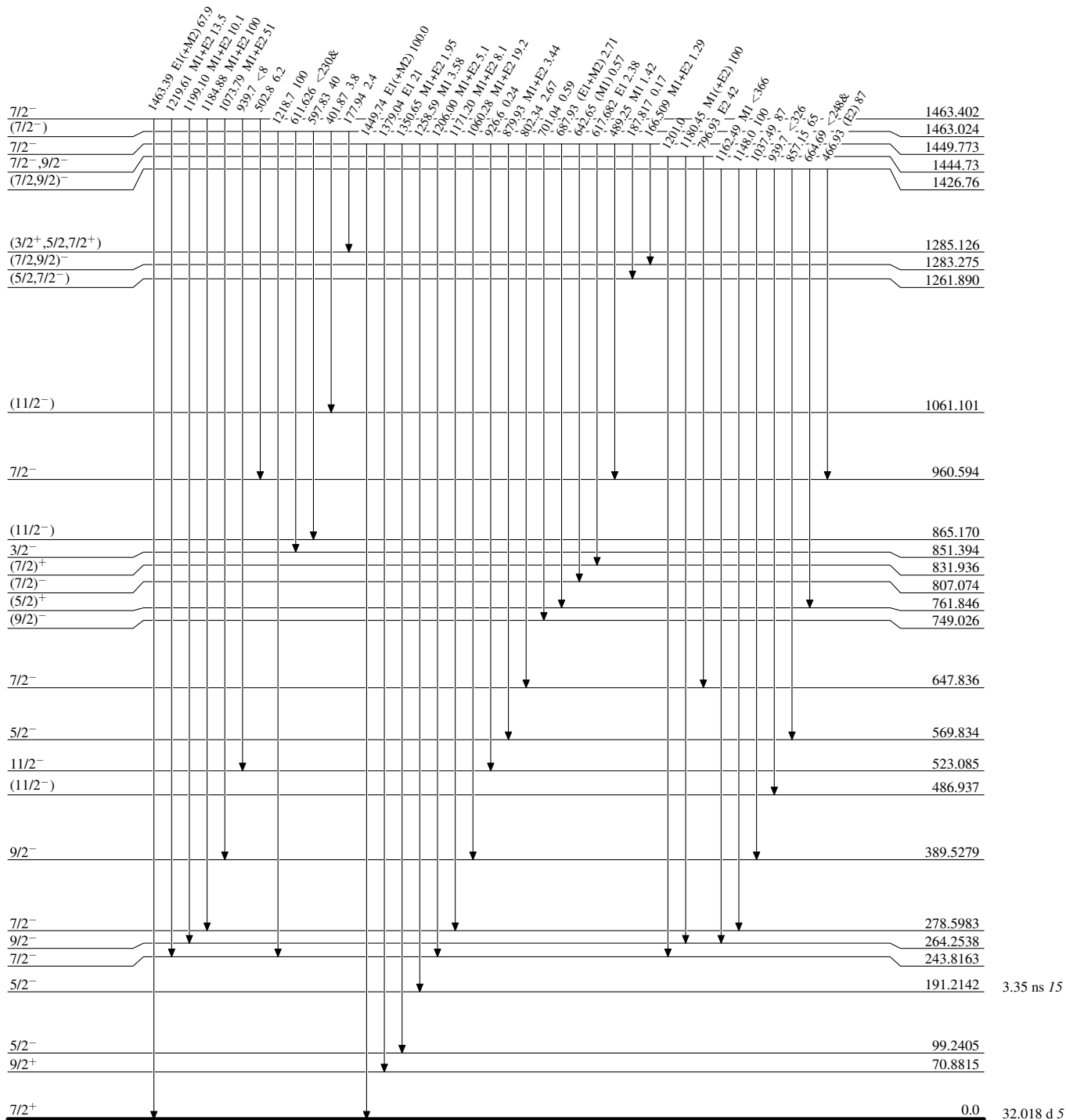
$^{169}_{70}\text{Yb}_{99}$

32.018 d 5

**Adopted Levels, Gammas**

**Level Scheme (continued)**

Intensities: Relative photon branching from each level  
& Multiply placed: undivided intensity given



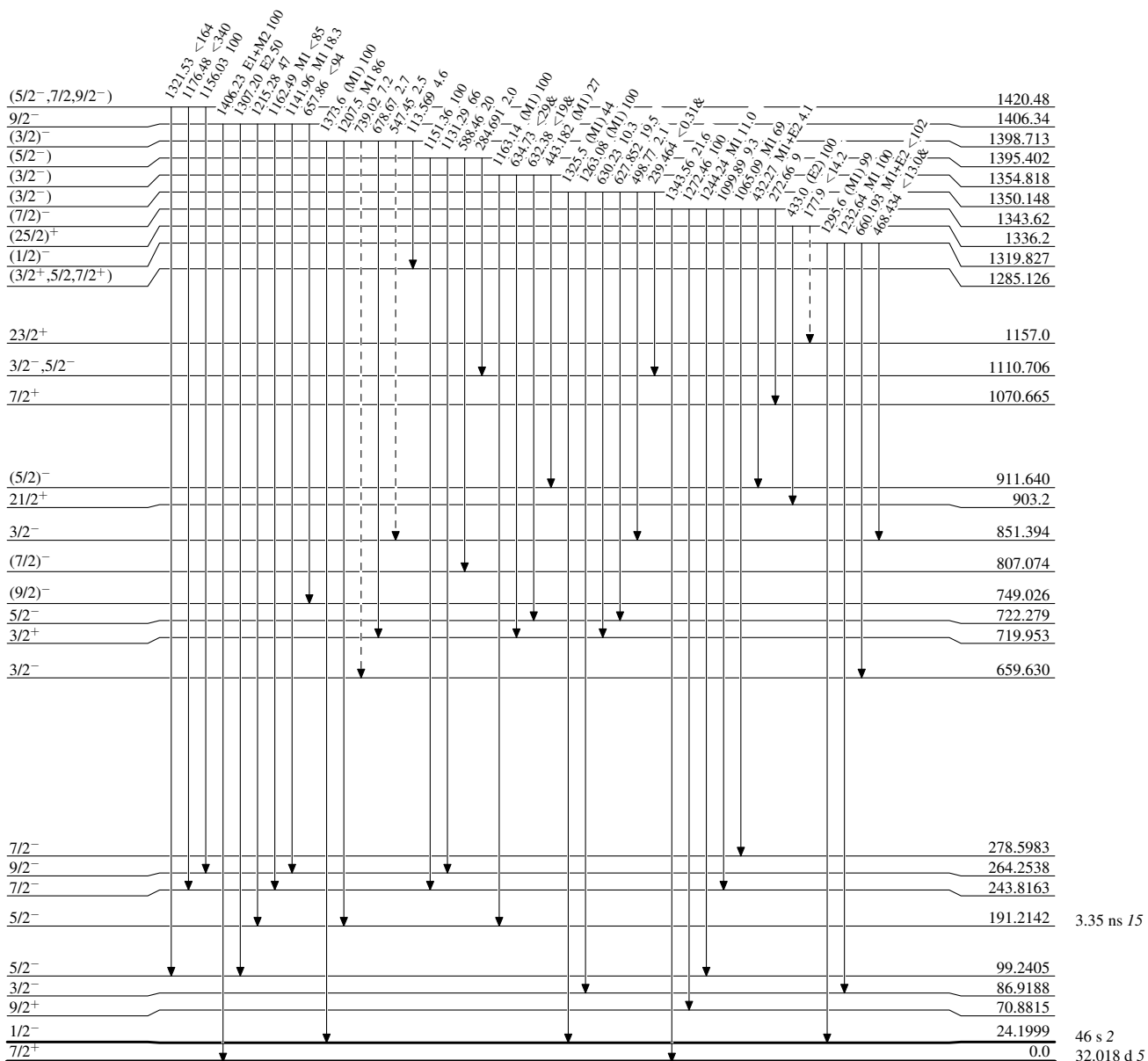
**Adopted Levels, Gammas**

Legend

**Level Scheme (continued)**

Intensities: Relative photon branching from each level  
& Multiplied: undivided intensity given

-----▶  $\gamma$  Decay (Uncertain)



$^{169}_{70}\text{Yb}_{99}$

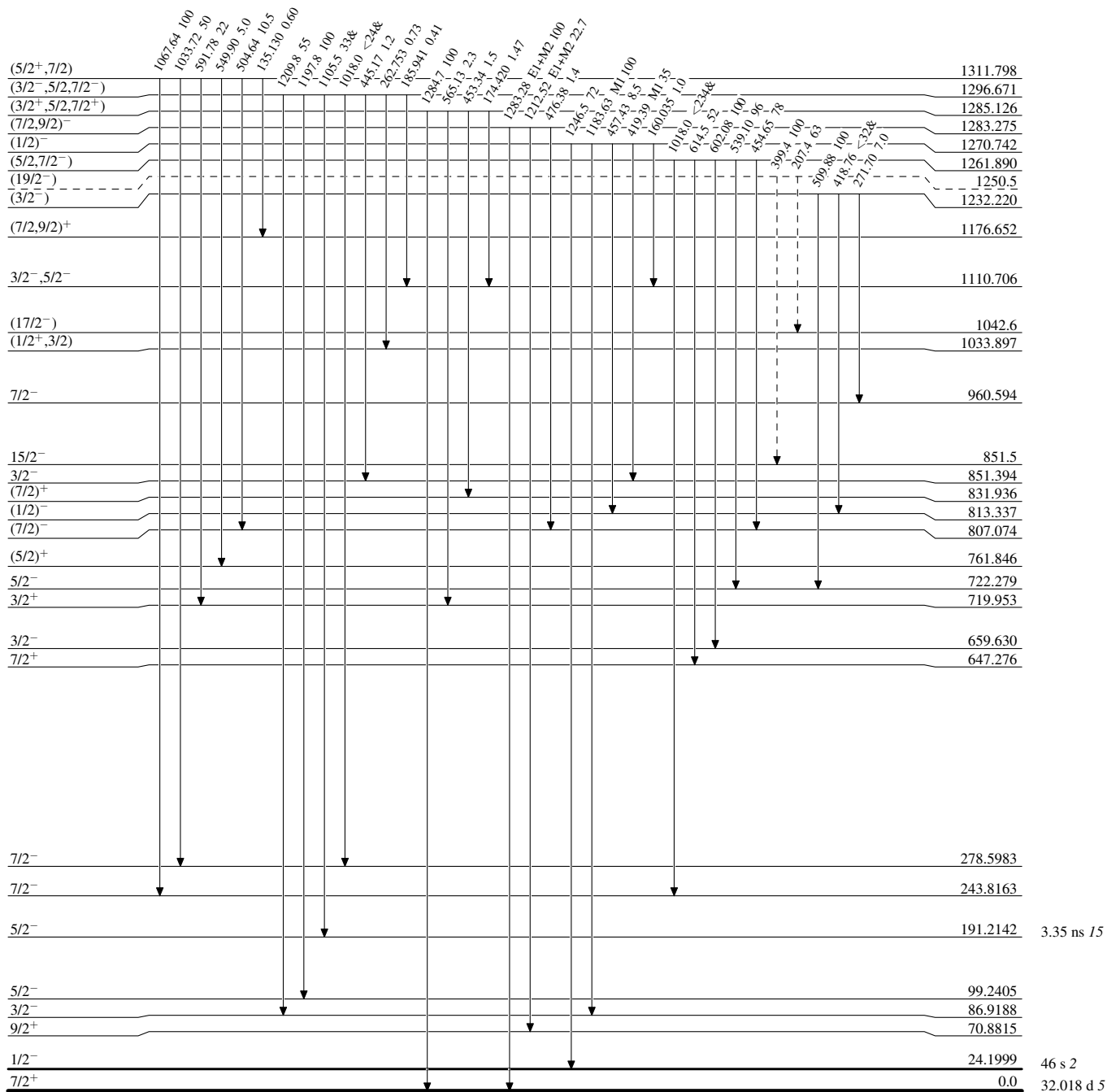
**Adopted Levels, Gammas**

Legend

**Level Scheme (continued)**

Intensities: Relative photon branching from each level  
& Multiplied: undivided intensity given

-----▶  $\gamma$  Decay (Uncertain)

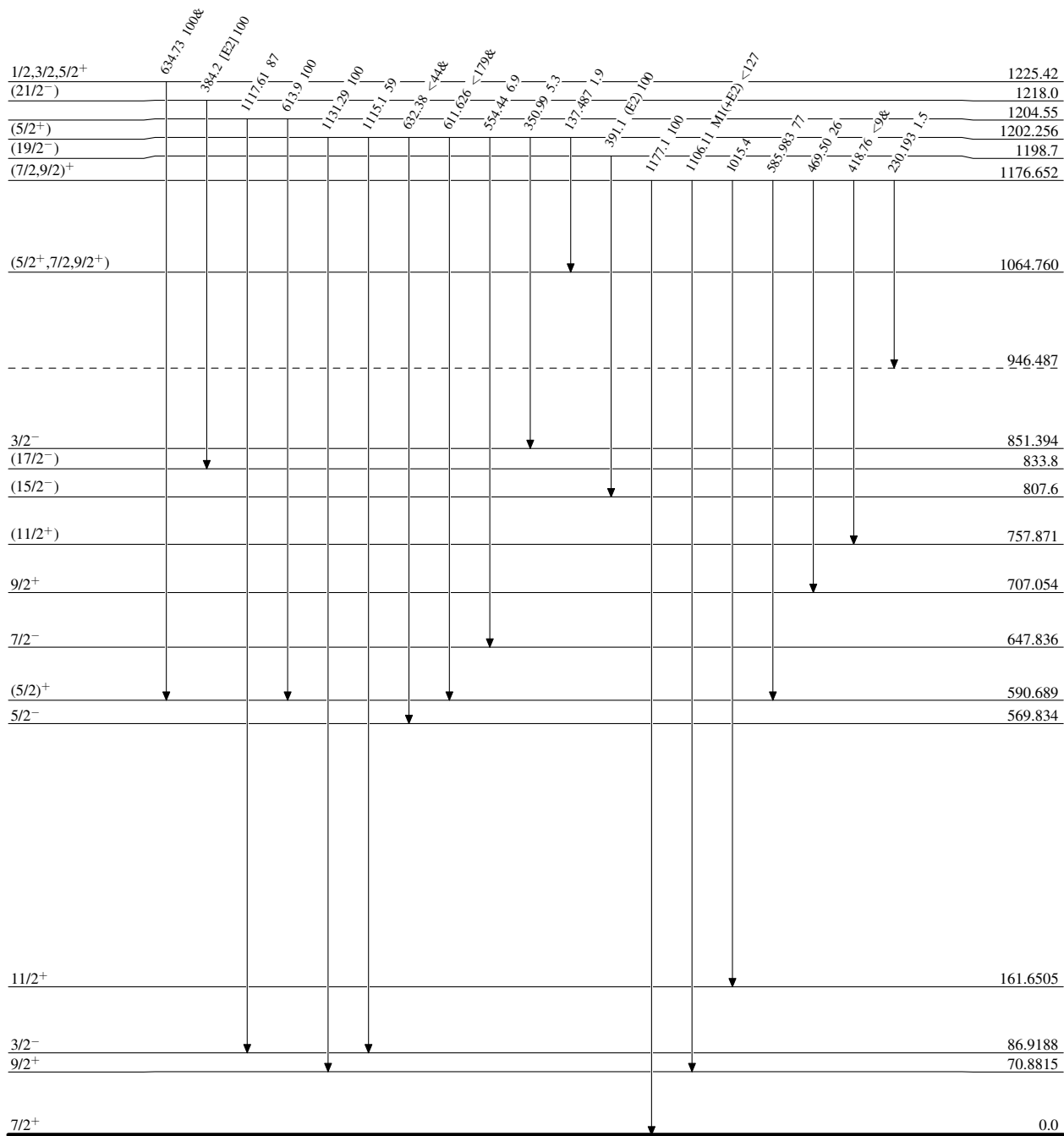


$^{169}_{70}\text{Yb}_{99}$

**Adopted Levels, Gammas**

**Level Scheme (continued)**

Intensities: Relative photon branching from each level  
& Multiply placed: undivided intensity given



$^{169}_{70}\text{Yb}_{99}$

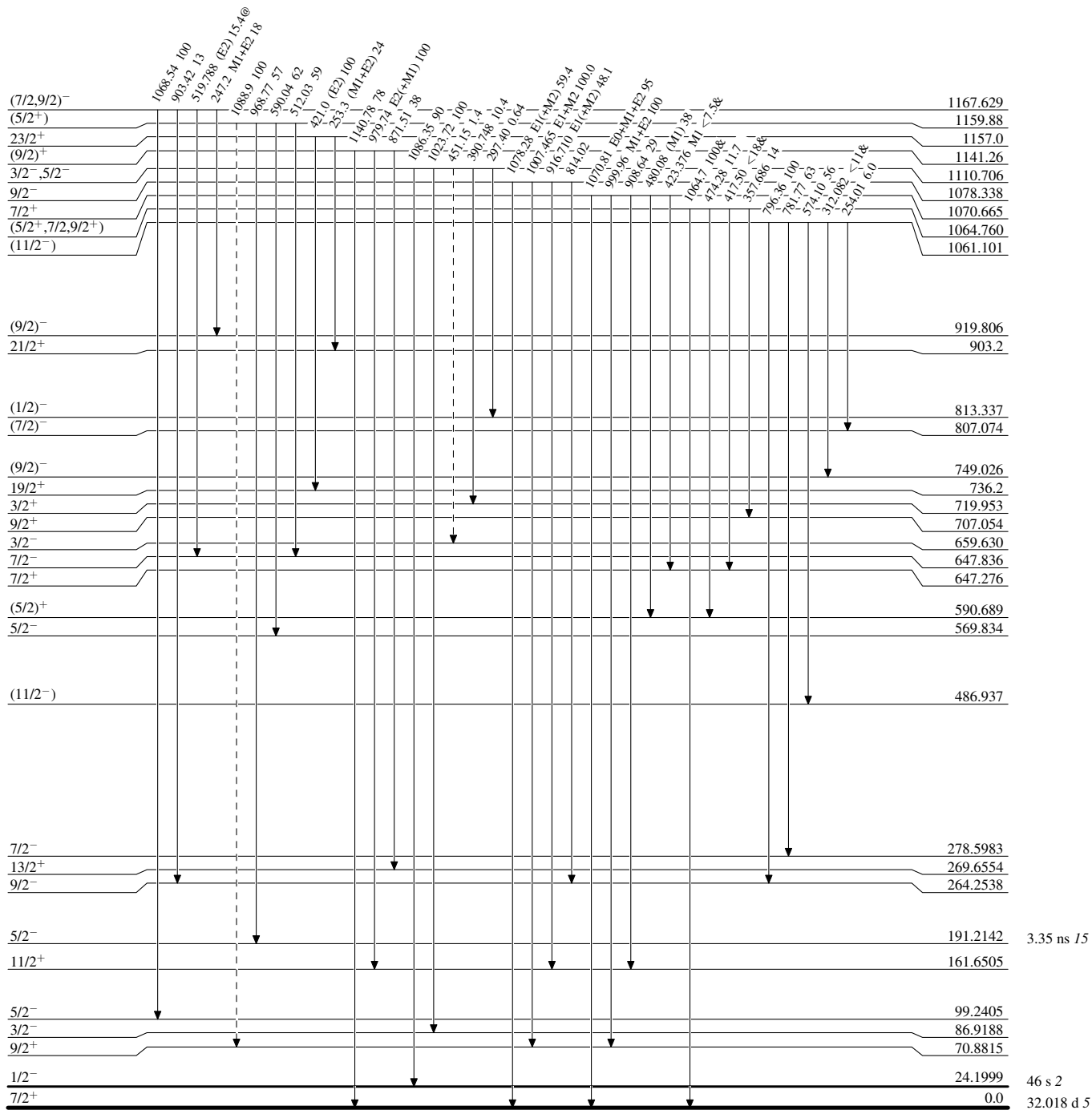
**Adopted Levels, Gammas**

**Level Scheme (continued)**

**Legend**

Intensities: Relative photon branching from each level  
& Multiply placed: undivided intensity given  
@ Multiply placed: intensity suitably divided

-----▶  $\gamma$  Decay (Uncertain)



<sup>169</sup>Yb<sub>99</sub>

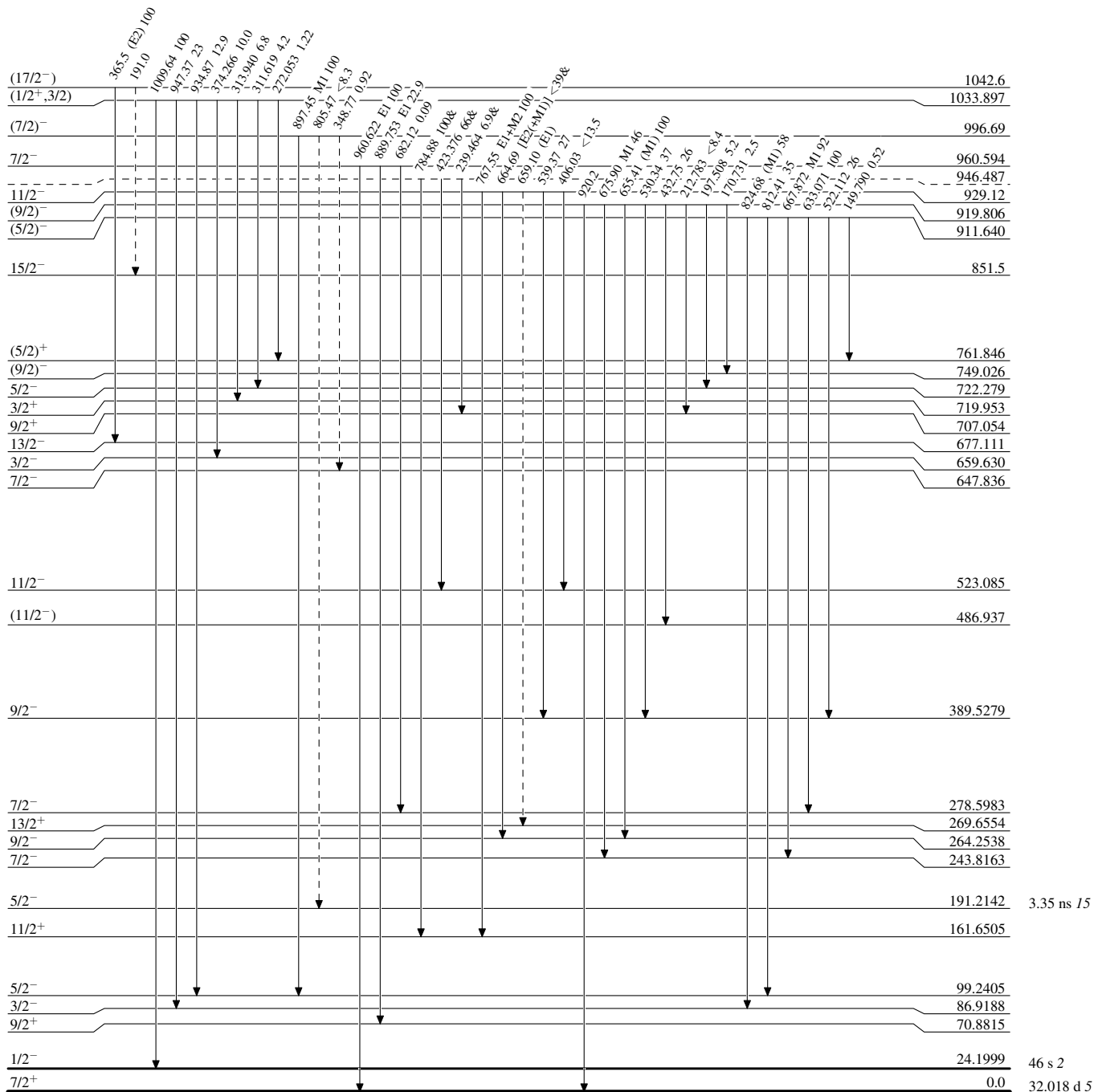
**Adopted Levels, Gammas**

Level Scheme (continued)

Legend

Intensities: Relative photon branching from each level  
& Multiply placed: undivided intensity given  
@ Multiply placed: intensity suitably divided

-----▶  $\gamma$  Decay (Uncertain)

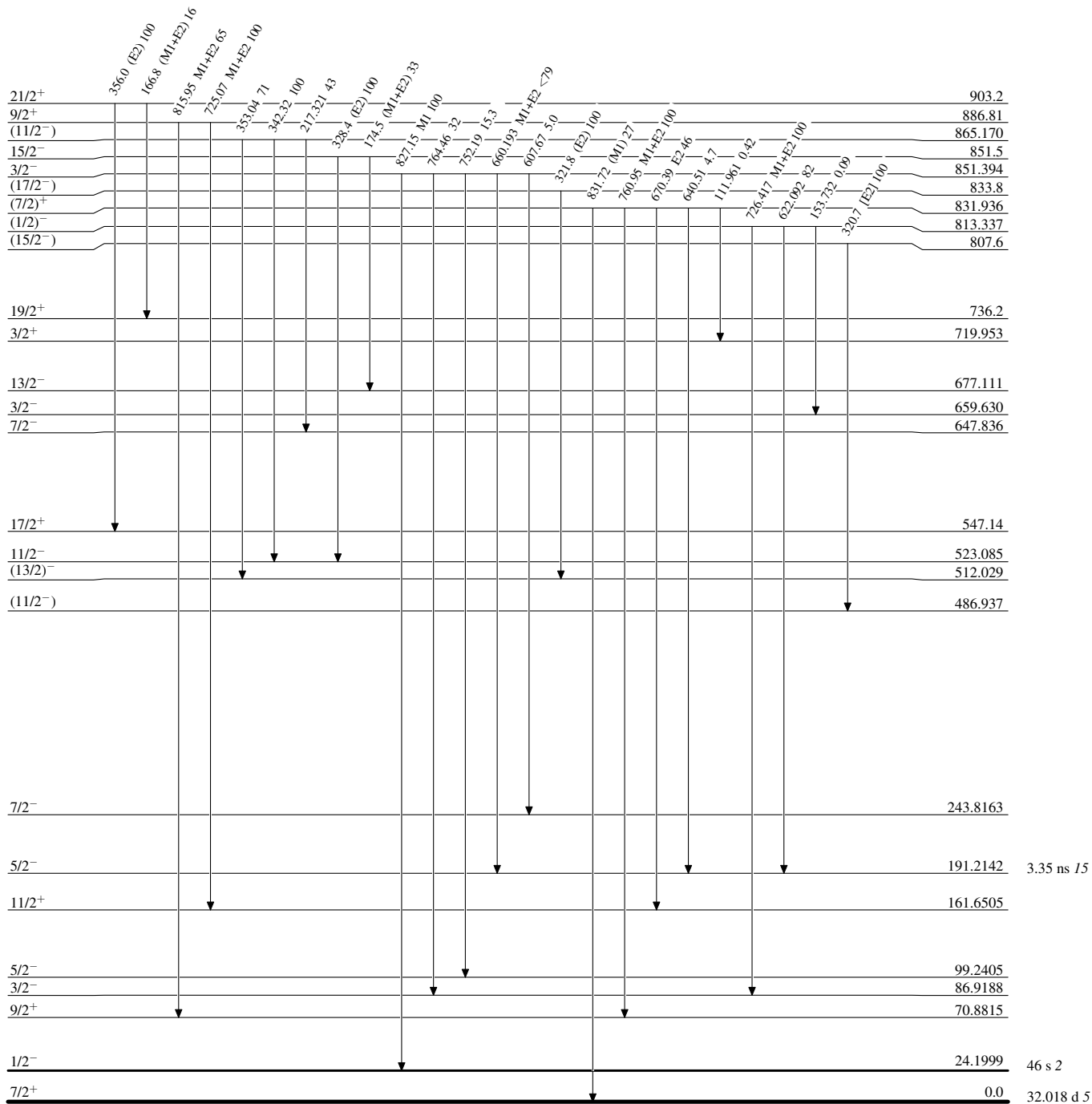


<sup>169</sup>Yb<sub>99</sub>

**Adopted Levels, Gammas**

**Level Scheme (continued)**

Intensities: Relative photon branching from each level  
 & Multiply placed: undivided intensity given  
 @ Multiply placed: intensity suitably divided



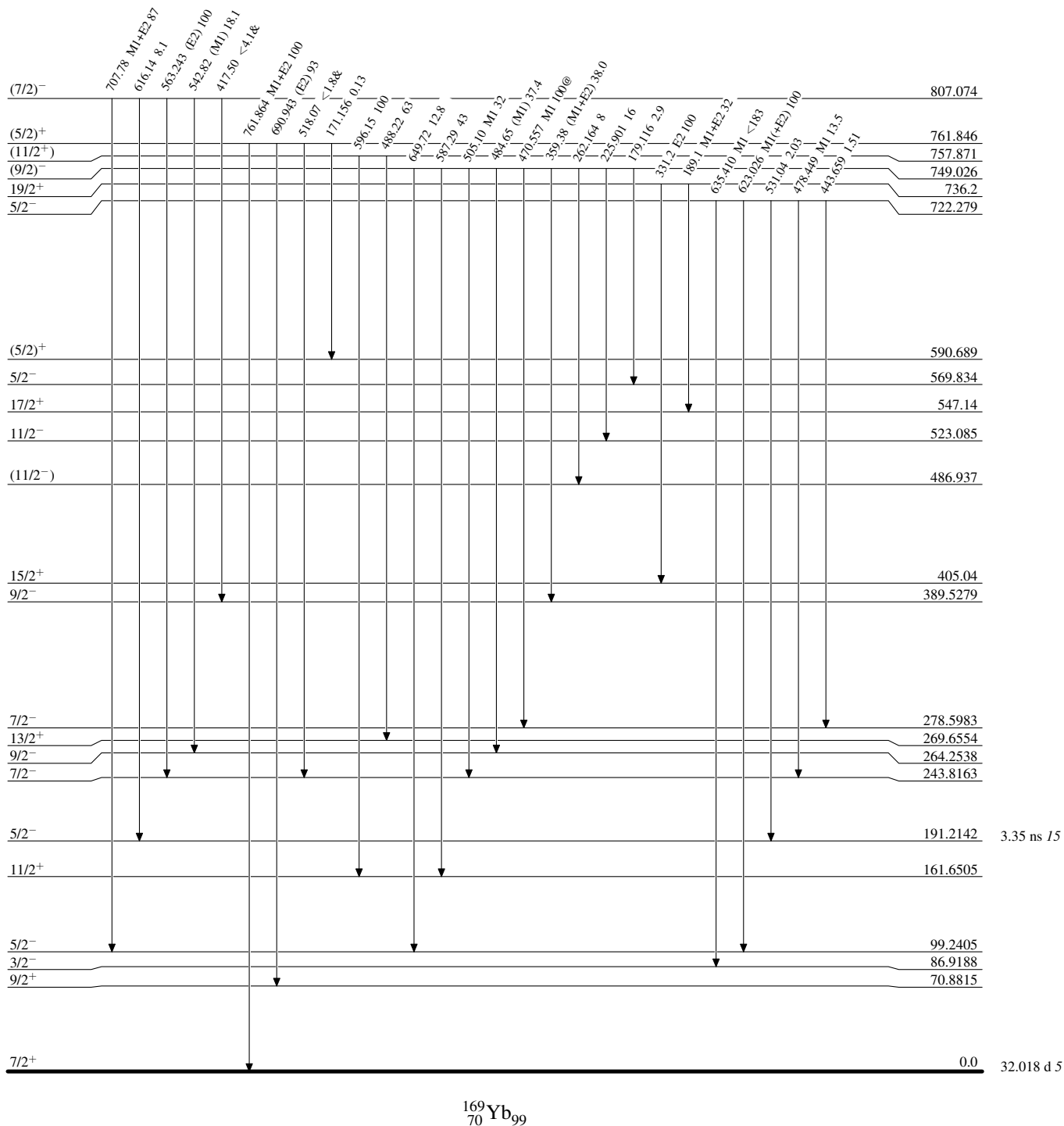
$^{169}_{70}\text{Yb}_{99}$



**Adopted Levels, Gammas**

**Level Scheme (continued)**

Intensities: Relative photon branching from each level  
 & Multiply placed: undivided intensity given  
 @ Multiply placed: intensity suitably divided



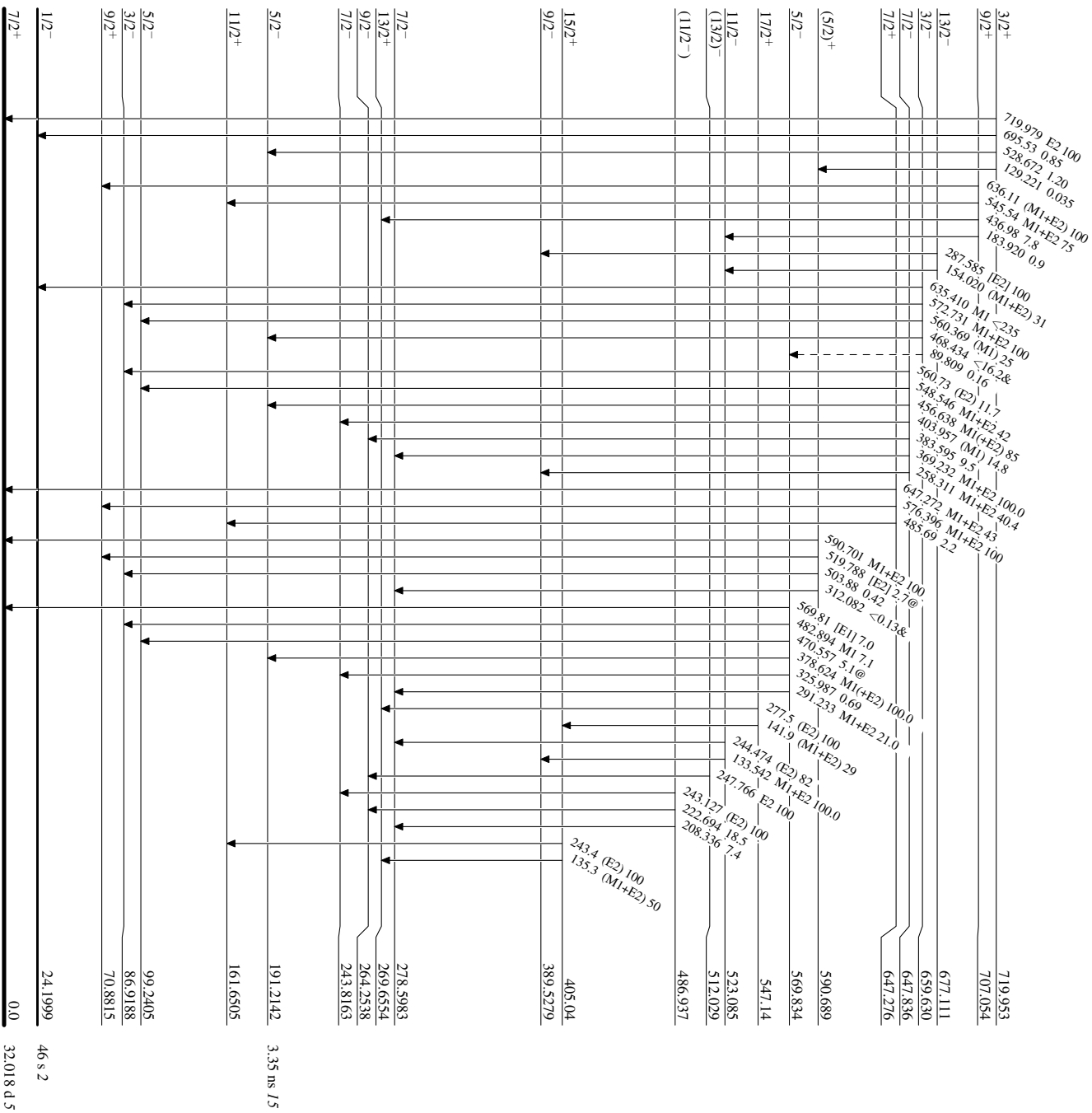
**Adopted Levels, Gammas**

**Level Scheme (continued)**

**Legend**

Intensities: Relative photon branching from each level  
& Multiply placed: undivided intensity given  
@ Multiply placed: intensity suitably divided

----->  $\gamma$  Decay (Uncertain)

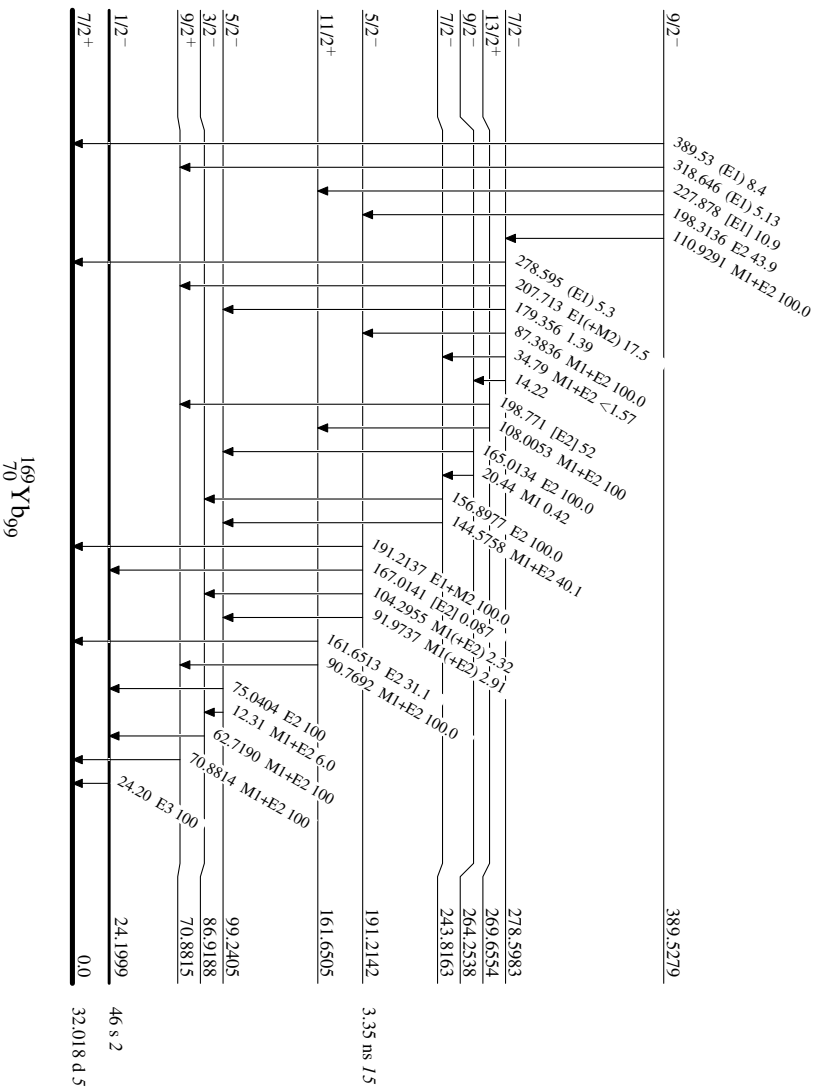


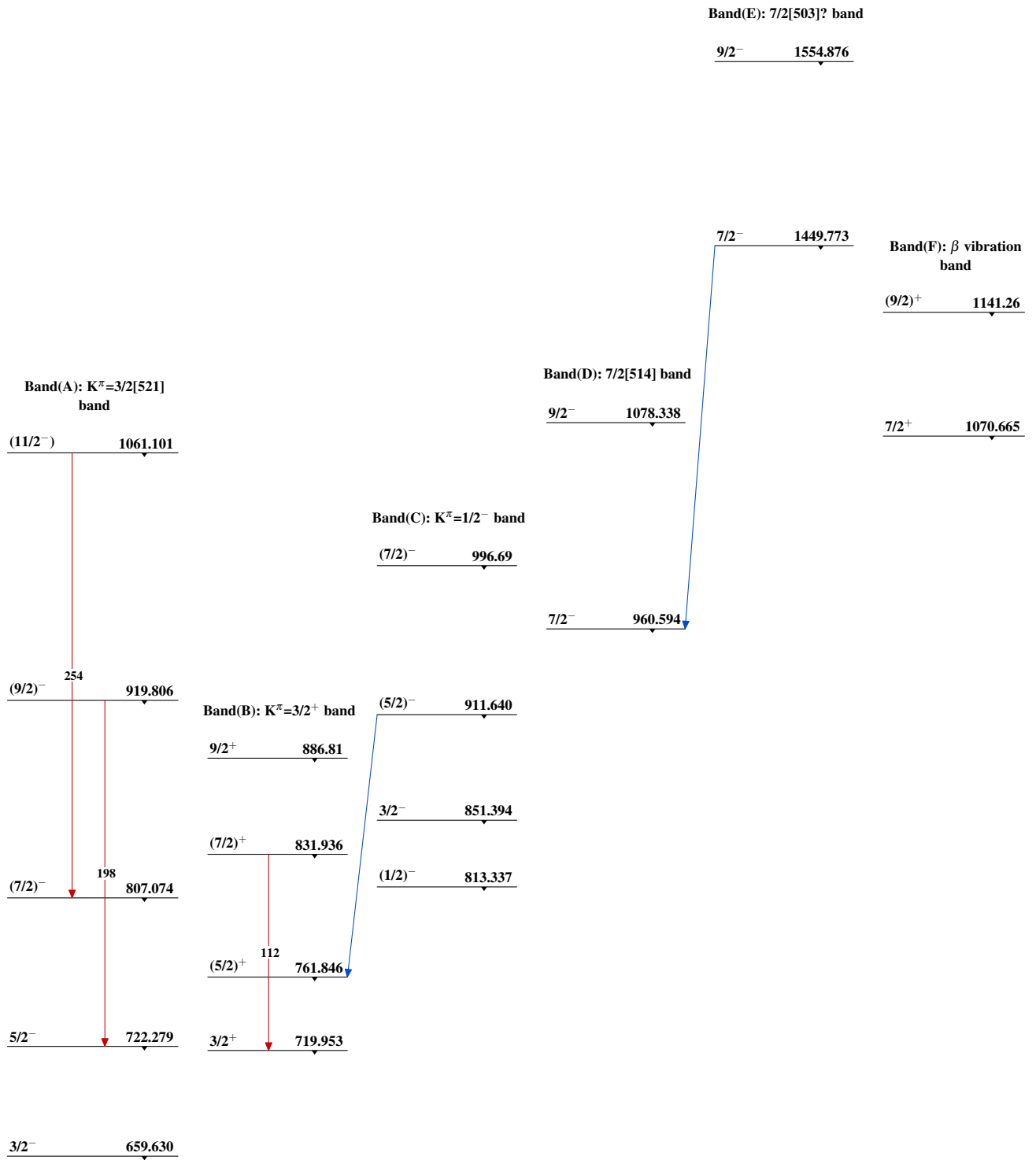
<sup>169</sup>Yb<sub>99</sub>

**Adopted Levels, Gammas**

Level Scheme (continued)

Intensities: Relative photon branching from each level  
 & Multiply placed: undivided intensity given  
 @ Multiply placed: intensity suitably divided



Adopted Levels, Gammas $^{169}_{70}\text{Yb}_{99}$